

Révision de l'inventaire des géotopes suisses : rapport final

Reynard Emmanuel¹, Berger Jean-Pierre², Constandache Monica^{1,2},
Felber Markus³, Grangier Lucien¹, Häuselmann Philipp⁴, Jeannin Pierre-Yves⁴, Martin Simon¹

¹ Institut de géographie et durabilité, Université de Lausanne

² Département des Géosciences, Géologie, Université de Fribourg

³ Consulenze geologiche e ambientali, Morbio Inferiore

⁴ Institut suisse de spéléologie et de karstologie (ISSKA), La Chaux-de-Fonds

En collaboration avec les membres du Groupe de travail pour les géotopes en Suisse

Nous dédions ce rapport à notre ami Jean-Pierre Berger, trop tôt disparu. Pendant des années, il a contribué à une meilleure diffusion des connaissances sur les géotopes.

1. Introduction

1.1 Cadre du projet

Ce rapport clôt la phase de révision de l'inventaire des géotopes suisses, initiée en mars 2006. A cette date, grâce à des contributions financières de la part de l'Office fédéral de l'environnement (OFEV) et de l'Académie suisse des sciences naturelles (SCNAT), un mandat a été confié au Groupe de travail pour les géotopes en Suisse (affilié à la plate-forme Géosciences de SCNAT) pour entreprendre la révision de l'inventaire réalisé dans les années 1990 et publié sous la forme d'une liste succincte en 1999 (Gruppo di lavoro per i geotopi in Svizzera, 1999). Un groupe de projet « Géotopes d'importance nationale », présidé par Jean-Pierre Berger (Université de Fribourg) et regroupant des chercheurs des universités de Fribourg et Lausanne, de l'Institut suisse de spéléologie et de karstologie (ISSKA) et du bureau Consulenze geologiche e ambientali, Morbio Inferiore, a été mis en place pour réaliser l'informatisation et la mise à jour des fiches descriptives des géotopes. Ce groupe de projet a été accompagné d'un représentant de l'Office fédéral de l'environnement (successivement MM. Hans Schneider, Michel Bhend, Tatenda Lemann et Maria Senn).

Un premier rapport a été publié en 2008, présentant une première liste de 248 géotopes (Berger et al., 2008). En 2010, un rapport relatif à la numérisation des périmètres des géotopes a été rendu (Constandache et al., 2010). En 2011, un rapport a fourni la liste des géotopes validée par le Groupe de travail sur les géotopes en Suisse dans sa séance du 12 janvier 2011 (Berger et al., 2011). Le présent rapport contient l'information globale relative à l'inventaire dans sa forme finale.

1.2 Objectifs

Le mandat confié par l'OFEV et SCNAT visait les quatre objectifs suivants :

1. Contrôler et compléter les données contenues dans les fiches correspondant aux 401 géotopes d'importance nationale proposés en 1999.
2. Contacter les services cantonaux d'aménagement du territoire et de protection de la nature afin d'intégrer les nouveaux sites pouvant provenir d'inventaires cantonaux effectués entre temps et proposés comme géotopes d'importance nationale.
3. Contacter les principales associations faîtières en géosciences afin d'intégrer leurs propositions de sites d'importance nationale dans les disciplines concernées.
4. Intégrer toutes ces données dans une base de données informatique, en utilisant un programme facilement accessible, et transférer ces données dans un système SIG.

2. Produits délivrés

2.1 Base de données

Les descriptions des 322 géotopes retenus sont regroupées dans une base de données mise au point pour ce projet (voir Berger et al., 2008, pour le détail). Cette base de données est hébergée sur un serveur de l'Académie suisse des sciences naturelles (SCNAT) à Berne. Elle est accessible par Internet moyennant un mot de passe. Elle est également consultable à distance au moyen du logiciel Filemaker Pro.

SCNAT s'est engagée à héberger la base de données sur le long terme (la personne de contact auprès de SCNAT est le Dr Pierre Dèzes, coordinateur de la plate-forme Géosciences, pierre.dezes@scnat.ch).

2.2 Cartographie

Le périmètre de chaque géotope a été numérisé au 1/25'000 (exceptionnellement au 1/100'000 pour quelques géotopes particulièrement étendus) au moyen du logiciel ArcGIS. La méthode de numérisation des périmètres est décrite dans le rapport de Constandache et al. (2010). Il s'agit d'un périmètre estimatif, établi la plupart du temps sur la base des données cartographiques à disposition, et non pas d'un relevé sur le terrain. Tous les périmètres ont été regroupés dans un seul fichier ArcGIS et pour chaque géotope, un extrait de carte a été établi et inséré dans la base de données. Le fichier ESRI shapefile comportant tous les périmètres est stocké à l'Institut de géographie et durabilité de l'Université de Lausanne (IGD) et joint également au présent rapport (annexe 7). D'éventuelles mises à jour de ce fichier seront faites à l'IGD. La personne de contact à l'IGD est le Prof. Emmanuel Reynard (emmanuel.reynard@unil.ch).

Une carte de synthèse est jointe à ce rapport (annexe 6).

2.3 Fiches descriptives

Pour chaque géotope, une fiche descriptive a été générée en format PDF. Les fiches sont jointes à ce rapport sous forme informatique (CD-rom) (annexe 8).

2.4 Métadonnées et annexes

Afin d'établir la « traçabilité » des géotopes (quels géotopes ont été abandonnés ? lesquels ont été regroupés ? lesquels ont été retenus ? lesquels ont été rajoutés ? etc.), nous joignons une série d'annexes à ce rapport :

- **Annexe 1 : Liste des géotopes suisses par canton.** Cette liste présente les 322 géotopes actuellement inscrits à l'inventaire, classés selon leur appartenance cantonale. Ce sont ces 322 géotopes qui sont également représentés sur la carte de synthèse.

- **Annexe 2 : Liste des géotopes suisses par code.** Cette liste présente les 322 géotopes actuellement inscrits à l'inventaire, classés selon leur code. Ce code renvoie à la base de données et permet une recherche rapide.
- **Annexe 3 : Liste de correspondance entre les anciens codes (GIN) et les codes actuels.** Le but de ce fichier est de permettre d'identifier les géotopes également par leur ancien code GIN, actuellement supprimé.
- **Annexe 4 : Liste des géotopes supprimés et en attente.** Cette annexe regroupe, par canton, tous les géotopes présents dans l'inventaire de 1999 qui n'ont pas été retenus dans la révision actuelle. Certains géotopes ont été regroupés avec d'autres géotopes ; certains ont été supprimés, le Groupe de travail ayant considéré leur valeur comme étant insuffisante pour être inscrits dans l'inventaire national. Sont également indiqués, par canton, les géotopes pour lesquels les données sont actuellement insuffisantes pour une insertion dans l'inventaire national. Cette liste doit permettre une éventuelle intégration future.
- **Annexe 5 : Métadonnées cartographiques.** Cette annexe présente les métadonnées concernant les fichiers des périmètres en format ESRI shapefile.
- **Annexe 6 : Carte des géotopes suisses.** Il s'agit d'une carte à l'échelle de la Suisse de l'ensemble des géotopes, accompagnée d'une liste des noms des géotopes.
- **Annexe 7 :** Membres du groupe de travail pour les géotopes en Suisse (état novembre 2012).
- **Annexe 8 (CD-rom) : Couches d'entités des géotopes.** Ce fichier informatique en format ESRI shapefile regroupe tous les périmètres des géotopes inventoriés.
- **Annexe 9 (CD-rom) : Fiches d'inventaire.** Pour chaque géotope, un fichier pdf a été réalisé. Les fichiers sont numérotés selon le code du géotope.

Remerciements

Nous remercions les administrations cantonales, les membres du Groupe de travail pour les géotopes en Suisse et, de manière générale, toutes les personnes ayant fourni des informations concernant les géotopes inclus dans la base de données. Il n'est pas possible de les nommer tous ici, mais leur contribution est clairement indiquée à l'intérieur des fiches de la base de données. Sans leur précieuse collaboration, cette mise à jour n'aurait pas été possible. Nous remercions la plate-forme Géosciences de SCNAT, notamment son coordinateur scientifique Pierre Dézes, pour son appui financier, pour la maintenance de la base de données, pour la confiance accordée et pour l'accompagnement du projet. Nos remerciements vont également aux Universités de Fribourg et Lausanne pour les facilités accordées et

à plusieurs collaborateurs de l'inventaire (Cristian Scapozza, Benoît Maillard, Géraldine Regolini-Bissig, Joëlle Dumas) pour leur appui technique. Finalement, nous adressons nos remerciements à l'Office fédéral de l'environnement, notamment Mme Maria Senn et MM. Hans Schneider, Michel Bhend et Tatenda Lemann, pour le financement du projet et son accompagnement administratif.

Le résultat de cet inventaire est en particulier dédié à notre collègue Jean-Pierre Berger, cheville ouvrière de cette révision de l'inventaire, et qui nous a malheureusement quittés bien trop tôt, avant que les travaux ne soient terminés.

Références

- Berger J.-P., Reynard E., Bissig G., Constandache M., Dumas J., Felber M., Häuselmann P., Jeannin P.-Y. (2008). *Révision de la liste des géotopes d'importance nationale : rapport du groupe de travail 2006-2007*. Fribourg, Groupe de travail pour les géotopes en Suisse, avril 2008, 17 p.
- Berger J.-P., Reynard E., Constandache M., Felber M., Häuselmann P., Jeannin P.-Y., Martin S. (2011). Révision de l'inventaire des géotopes suisses : rapport du groupe de travail 2008-2011. Fribourg, Groupe de travail pour les géotopes en Suisse, avril 2008, 32 p.
- Constandache M., Martin S., Reynard E., Berger J.-P. (2010). *Numérisation des périmètres des géotopes d'importance nationale*. Lausanne, Groupe de travail pour les géotopes en Suisse, mars 2010, 5 p + annexes.
- Gruppo di lavoro per la protezione dei geotopi in Svizzera (1999). Inventario dei geotopi d'importanza nazionale. *Geol. Insubrica*, 4, 25-46.

ANNEXE 1

Liste des géotopes par canton

CANTON CODE NOM

| | | |
|------------|-----|---|
| AG | 98 | Rissmoränen und Terrassenschotter von Möhlin (AG) |
| AG | 99 | Tafeljura um Wittnau-Herznach (AG) |
| AG | 100 | Schwarzwaldkristallin und Schlossberg von Laufenburg (Laufenburg, AG) |
| AG | 101 | Wasserschloss: Zusammenfluss von Aare, Reuss und Limmat (AG) |
| AG | 102 | Fuchstobelstein (Erratiker) (Remetschwil, AG) |
| AG | 104 | Molasse-Rundhöcker Schlossberg und Gofi bei Lenzburg (Lenzburg, AG) |
| AG | 112 | Echinodermensteinbruch von Schinznach (Schinznach, AG) |
| AG | 125 | Biwakgrotte (Kaiseraugst, AG) |
| AG | 221 | Fossilfundstelle Tongrube Frick (Frick, AG) |
| AG | 227 | Thermalquellen (Baden, Ennetbaden, AG) |
| AG | 258 | Neunbrunnen-Quellen (Böttstein, AG) |
| AG | 259 | Lindmühle-Quellen (Birmenstorf, AG) |
| AG | 271 | Molasse Steinbruch Eckwil (Mägenwil, AG) |
| AG | 293 | Moränen des Würm-Maximums des Reussgletschers bei Mellingen (AG) |
| AG | 294 | Moränen des Stetten-I-und -II-Rückzugsstadiums des Reussgletschers bei Stetten (AG) |
| AG | 295 | Moränen des Bremgarten-Stadiums des Reussgletschers bei Bremgarten (AG) |
| AG, SO | 273 | Windgap Heidenloch (AG, SO) |
| AG, ZH | 103 | Lägern - Faltenjura und Steinbruch von Dielsdorf (AG, ZH) |
| AG, ZG, ZH | 164 | Flusslandschaft der mittleren Reuss (AG, ZG, ZH) |
| AI | 1 | Molasse/Alpenrand Dunkelberndl (Schwende, AI) |
| AI | 2 | Schichtruppenlandschaft Enggenhütte (Gonten, Schlatt-Haslen, AI) |
| AI | 3 | Wildkirchli, Höhle im Alpstein (Schwende, AI) |
| AI | 126 | Dürschrennenhöhle Alpstein (Schwende, AI) |
| AI | 206 | Blattverschiebung Sax-Schwendibruch (Schwende, Rüte, AI) |
| AI | 250 | Glazialkomplex Weissbad-Schwende (Schwende, AI) |
| AI | 251 | Flyschgebirge Fäneren (Rüte, AI) |
| AI | 252 | Faltengebirgslandschaft Fälensee-Altmann (Rüte, AI) |
| AI | 279 | Erosionslandschaft Seckbachtobel mit Riesenkonglomerat (Schwende, AI) |
| AI, AR | 287 | Mittelmoräne Chammhalden (Schwende, AI, Hundwil, AR) |
| AR | 199 | Glazialkomplex Goldachgletscher Chastenloch (Trogen, AR) |
| AR | 280 | Glaziallandschaft Aueli-Tosbach (Urnäsch, Hundwil, AR) |
| AR | 281 | Molassekar Rossmoos (Urnäsch, AR) |
| AR | 285 | Randunterschiebung Teufelsmauern (Urnäsch, Hundwil, AR) |
| AR, AI | 287 | Mittelmoräne Chammhalden (Schwende, AI, Hundwil, AR) |
| BE | 94 | Zerrluft Gerstenegg (Guttannen, BE) |
| BE | 97 | Austernriff Scherpfenrain (Häutligen, BE) |
| BE | 108 | Luegibodenblock, Granit bei Habkern (Habkern, BE) |

| | | |
|------------|-----|--|
| BE | 127 | Beatenberg - Siebenhengste - Hohgant, Höhlen- und Karstsystem (BE) |
| BE | 128 | Eishöhle (Hasliberg, BE) |
| BE | 176 | Aareschlucht bei Meiringen (BE) |
| BE | 253 | Fallantiklinal bei Plaffeien (Fallvorsessli) (Plaffeien, BE) |
| BE | 260 | Giessbachfälle von Brienz (Brienz, BE) |
| BE | 261 | Staubbachfall bei Lauterbrunnen (Lauterbrunnen, BE) |
| BE | 262 | Trümmelbachfall von Lauterbrunnen (Lauterbrunnen, BE) |
| BE | 263 | Balmquelle (Lenk, BE) |
| BE | 306 | Sediment- und Torfkörper Moosallmend Faulensee (Spiez, BE) |
| BE | 308 | Glazialablagerung von Thalgut (Kirchdorf, BE) |
| BE | 321 | Milchbachhöhle-Arboschacht (Grindelwald, BE) |
| BE, JU | 162 | Cluses de la Birse (BE, JU) |
| BE, SO | 114 | Glaziallandschaft Steinhof bei Herzogenbuchsee (BE, SO) |
| BE, FR | 16 | Paysage fluvial de la Singine et carrière de Zollhaus (BE, FR) |
| BE, VD | 175 | Vallées glaciaires de La Pierreuse-Gummfluh et de l'Etivaz (BE, VD) |
| BE, LU | 29 | Napfbergland Nagelfluh Schuttfäche (LU, BE) |
| BE, FR, VD | 54 | Chaîne des Gastlosen (BE, FR, VD) |
| BL | 4 | Ziegelei Allschwil (Allschwil, BL) |
| BL | 5 | Trias Neue Welt (Münchenstein, BL) |
| BL | 6 | Molasse/Jura Kontakt Schlossgarten (Pfeffingen, BL) |
| BL | 7 | Huppergruben (Lausen, Bubendorf, BL) |
| BL | 8 | Fossilfundstelle Rain (Zunzgen, BL) |
| BL | 9 | Molasse Steinbruch Steinholden (Wittinsburg, BL) |
| BL | 10 | Trias Steingraben (Hemmiken, BL) |
| BL | 11 | Gipsgrube Wissbrun (Zeglingen, BL) |
| BL | 12 | Tongruben Liesberg-Dorf, Andil (Liesberg, BL) |
| BL | 13 | Tongrube Uf Saal (Laufen, BL) |
| BL | 14 | Brislach-Allmet, Höhlen- und Karstgebiet (BL) |
| BL | 109 | Faltenjura Richtifluh - Gerstefluh (Waldenburg, BL) |
| BL | 110 | Molasse Tennikerfluh (Tenniken, BL) |
| BL | 129 | Silberloch (Röschenz, BL) |
| FR | 15 | Gorges de la Sarine et affluents (FR) |
| FR | 17 | Vallée glacio-karstique du Breccaschlund (Charmey, Jaun, FR) |
| FR | 18 | Instabilités de terrain dans le vallon de Falli Hölli - Chleuwena (FR) |
| FR | 122 | Fossiles du Creux de l'Ours (Châtel-St-Denis, FR) |
| FR | 123 | Séquences de marée du Bois du Devin (Marly-le-Petit, FR) |
| FR | 124 | Molasse des Grottes de la Madeleine, Einsiedelei (Düdingen, FR) |
| FR | 153 | Molasse de Heitenried (FR) |
| FR | 163 | Colline rocheuse isolée du Mont Vully (Haut-Vully, Bas-Vully, FR) |
| FR | 222 | Crétacé-Tertiaire de Roter Sattel (Jaun, FR) |
| FR | 317 | Estavelle de l'Hongrin (Haut-Intyamon, FR) |
| FR, VD | 234 | Gorges de la Veveyse de Fégire (FR, VD) |
| FR, VD | 322 | Réseau des Morteys et Gouffre des Diablotins (FR, VD) |
| FR, BE | 16 | Paysage fluvial de la Singine et carrière de Zollhaus (BE, FR) |
| FR, BE, VD | 54 | Chaîne des Gastlosen (BE, FR, VD) |

| | | |
|------------|-----|---|
| GE | 60 | Molasse oligocène du Vallon de la Roulavaz (Dardagny, GE) |
| GE | 283 | Blocs erratiques des Pierres du Niton (Genève, GE) |
| GE | 304 | Carrières sous-lacustres (Prégny-Chambésy, GE) |
| GL | 130 | Muttseehöhle und Marmorhöhle (Glarus Süd, GL) |
| GL | 228 | Fossillokalität Landesplattenberg (Glarus Süd, GL) |
| GL, SZ | 143 | Hölloch - Windloch - Silberen - Bödmeren, Höhlen- und Karstsystem (Muotathal, SZ, Glarus, GL) |
| GL, SG, GR | 310 | Glarner Hauptüberschiebung / Tektonikarena Sardona (GL, SG, GR) |
| GR | 19 | Gletschermühlen (Maloja, GR) |
| GR | 20 | Morteratschgletscher (Pontresina, GR) |
| GR | 21 | Roseg- und Tschiervagletscher (Samedan, GR) |
| GR | 22 | Gletschervorfeld Palügletscher (Poschiavo, GR) |
| GR | 23 | Val Bondasca (Bregaglia, GR) |
| GR | 24 | Macunseen (Lavin, GR) |
| GR | 25 | Glaziallandschaft Stazerwald (GR) |
| GR | 26 | Viamala-Schlucht (GR) |
| GR | 27 | Typlokalität des Ruchberg-Sandstein (Maienfeld, GR) |
| GR | 106 | Val di Campo (Poschiavo, GR) |
| GR | 131 | Höhlen- und Karstsystem der Sulzfluh (St. Antönien, GR) |
| GR | 154 | Pillow-Lava auf der Alp Flix, Cuorts (Sur, GR) |
| GR | 155 | Alv-Brekzie Aufschluss am Piz Alv (Pontresina, GR) |
| GR | 156 | Eklogit-Boudins der Alp de Trescolmen (Mesocco, GR) |
| GR | 157 | Bergsturzlandschaft Ils Aults (Domat/Ems (GR)) |
| GR | 158 | Landwasserschlucht (Davos, Filisur, GR) |
| GR | 159 | Bergsturzlandschaft Flims und Ruinalta (GR) |
| GR | 160 | Tumalandschaft (Domat/Ems, GR) |
| GR | 187 | Kesch-Ducan-Gebiet mit fossilreicher Prosanto-Formation (GR) |
| GR | 188 | Blockgletscher Val Sassa (Zernez, GR) |
| GR | 217 | Blockgletscher Murtel-Corvatsch (Silvaplana, GR) |
| GR | 218 | Blockgletscher Val Muragl (Samedan, GR) |
| GR | 264 | Mineralwasserquellen (GR) |
| GR | 265 | Dinosaurier-Fährten am Piz dal Diavel im Nationalpark (Zernez, GR) |
| GR | 266 | Manganerzlagerstätte Falotta und Parsettens (Tinizong, GR) |
| GR | 284 | Kame Terrassen Camischolas (Disentis, Sedrun, GR) |
| GR, SG, GL | 310 | Glarner Hauptüberschiebung / Tektonikarena Sardona (GL, SG, GR) |
| JU | 65 | Ajoulotte souterraine (Haute-Ajoie, JU) |
| JU | 132 | Grotte de Milandre (Boncourt, Basse-Allaine, JU) |
| JU | 133 | Grotte de Réclère (Haute-Ajoie, JU) |
| JU | 223 | Paléokarst de la carrière de la Petite Morée (Glovelier, JU) |
| JU | 229 | Récifs coralliens de St-Ursanne (Clos du Doubs, JU) |
| JU | 230 | Cluse de Goumois (Saignelégier, JU) |
| JU | 237 | Grès vosgiens des Etangs de Bonfol (Bonfol, Vendlincourt, JU) |
| JU | 267 | Parois rocheuses à tourelles de Château Cugny (Goumois, JU) |
| JU | 297 | Traces de dinosaures de Courtedoux (Courtedoux, Haute-Ajoie, JU) |
| JU | 161 | Cluses du Pichoux et d'Undervelier et vallée sèche du Miéry (JU) |
| JU, NE | 189 | Canyon du Doubs (JU, NE) |

| | | |
|--------|-----|--|
| JU, BE | 162 | Cluses de la Birse (BE, JU) |
| LU | 28 | Zungenbeckenlandschaft Wauwilermoos-Hagimoos-Mauensee (LU) |
| LU | 61 | Molasse (OMM) Ränggloch (Kriens, LU) |
| LU | 62 | Molasse (OMM) (Luzern, LU) |
| LU | 134 | Schrattenfluh, Höhlen- und Karstsystem (Flühli, LU) |
| LU | 166 | Gletschergarten (Luzern, LU) |
| LU, BE | 29 | Napfbergland Nagelfluh Schuttfäche (LU, BE) |
| LU, OW | 178 | Hagleren - Glaubenberg - Schlieren Flysch (LU, OW) |
| NE | 31 | Mines d'asphalte (Val-de-Travers, NE) |
| NE | 135 | Grotte de la Cascade (Val-de-Travers, NE) |
| NE | 136 | Emposieu et moulins souterrains du Col des Roches (Le Locle, NE) |
| NE | 137 | Glacière de Monlési (Val-de-Travers, NE) |
| NE | 138 | Grotte du TM 800 (Fontainemelon, NE) |
| NE | 244 | Marne crétacée (Cressier, NE) |
| NE | 245 | Localité type du Valanginien (Valangin, NE) |
| NE | 246 | Système karstique Bied-Ponts de Martel-Noiraigue (NE) |
| NE | 248 | Bloc erratique de la Pierre-à-Bot (Neuchâtel, NE) |
| NE | 254 | Carrière de marne et minéraux rares (Cornaux, NE) |
| NE, VD | 30 | Boutonnière anticlinale du Creux du Van et Gorges de l'Areuse (NE, VD) |
| NE, JU | 189 | Canyon du Doubs (JU, NE) |
| NW | 139 | Bärenhöhle S-4 am Schwalmis (Emmetten, NW) |
| NW | 140 | Friedhöflerhöhle Bürgenstock (Ennetbürgen, NW) |
| OW | 141 | Mondmilchloch am Pilatus (Alpnach, OW) |
| OW, BE | 32 | Melchsee-Frutt, Höhlen- und Karstsysteme (Kerns, Innertkirchen, OW, BE) |
| OW, LU | 178 | Hagleren - Glaubenberg - Schlieren Flysch (LU, OW) |
| SG | 33 | Erosionstrichter "Ofenloch" in Nagelfluh (Nesslau-Krummenau, SG) |
| SG | 34 | Necker-Canyon zwischen Mogelsberg und Lütisburg (SG) |
| SG | 95 | Ries-Impakt Sittertobel (Waldkirch, Wittenbach, SG) |
| SG | 142 | Churfirsten - Rinquelle, Höhlen- und Karstsystem, Typlokalität Garschella (SG) |
| SG | 172 | Lignit Böllenbergtobel (SG) |
| SG | 180 | Taminaschlucht (Pfäfers, SG) |
| SG | 181 | Rundhöckerlandschaft Melser Hinterberg - Flumser Kleinberg (Flums, Mels, |
| SG | 198 | Molasse Goldachdurchbruch Martinstobel (SG) |
| SG | 200 | Molasse Schrötteller (Thal, SG) |
| SG | 201 | Lössterrassen- und Rundhöckerlandschaft (Wartau, Sevelen, SG) |
| SG | 202 | Eozäne Riffkalke Gufler (Weesen, SG) |
| SG | 203 | Säugetierlokalität Martinsbrünneli (Rapperswil-Jona, SG) |
| SG | 204 | Glazialkomplex Müselbach (Kirchberg, SG) |
| SG | 205 | Drumlinlandschaft Wittenbach (Wittenbach, Berg, SG) |
| SG | 207 | Kartreppenlandschaft Murgsee-Rietlichopf (Quarten, SG) |
| SG | 208 | Glazialkomplex Pizol (Mels, Pfäfers, SG) |
| SG | 209 | Geologisches Fenster Vättis/Kreuzbachtobel (Pfäfers, SG) |

| | | |
|------------|-----|---|
| SG | 231 | Stollensystem Eisenerzbergwerk Gonzen (Sargans, SG) |
| SG | 247 | Sennwalder Bergsturz (Sennwald, SG) |
| SG | 255 | Flysch Flügenspitz (Amden, SG) |
| SG | 282 | Glaziallandschaft Oberes Luterental (Nesslau-Krummenau, SG) |
| SG | 288 | Schichtruppenlandschaft Jona-Diemberg (Rapperswil-Jona, SG) |
| SG | 307 | Falten und Schuppen Wildhuser Schafberg (Wildhaus-Alt St. Johann, SG) |
| SG | 320 | Kristallhöhle Kobelwald (Oberriet, SG) |
| SG, GL, GR | 310 | Glarner Hauptüberschiebung / Tektonikarena Sardona (GL, SG, GR) |
| SH | 35 | Gips Oberwiesen (Schleitheim, SH) |
| SH | 36 | Bohnerzpfad Südranden (SH) |
| SH | 37 | Randen-Biberthal-Verwerfung, Biberegggrube (Thayngen, SH) |
| SH | 38 | Seebi Trias Steinbruch (Schleitheim, SH) |
| SH, ZH | 39 | Rheinfall (Neuhausen a. Rheinfall, SH, Laufen-Uhwiesen, ZH) |
| SO | 107 | Klus von Mümliswil (SO) |
| SO | 113 | Mont Terri Ueberschiebung, Oberkirch-Meltingen (SO) |
| SO | 115 | Gipsgrube Kienberg (Kienberg, SO) |
| SO | 116 | Liasische Stromatolithe, Passwang (Mümliswil-Ramiswil, SO) |
| SO | 117 | Klus Balsthal (Balsthal, Oensingen, SO) |
| SO | 118 | Nidlenloch, Weissenstein (Gänsbrunnen, Oberdorf, SO) |
| SO | 119 | Sauropodenfährten (Oberdorf, Lommiswil, SO) |
| SO | 120 | Typuslokalität Solothurner-Schildkrötenkalke St.Niklaus bei Solothurn (Rüttenen, SO) |
| SO | 121 | Weissenstein Antiklinale / Halbklus Balsthal Balmberg (Balm b. G., Günsberg, SO) |
| SO | 220 | Liasgrube Unterer Hauenstein (Hauenstein-Ifenthal, SO) |
| SO | 299 | Fossillokalität Rickenbach Huppergrube (Rickenbach, SO) |
| SO | 318 | Fledermausloch (Welschenrohr, SO) |
| SO, AG | 273 | Windgap Heidenloch (AG, SO) |
| SO, BE | 114 | Glaziallandschaft Steinhof bei Herzogenbuchsee (BE, SO) |
| SZ | 144 | Gütschtobel - Bawangli, Höhlen- und Karstsystem (Muotathal, SZ) |
| SZ | 177 | Bergsturzgebiet Goldau (Arth, SZ) |
| SZ | 232 | Flysch und Klippendecke, Mythen (Schwyz, SZ) |
| SZ | 272 | Fliesche der Einsiedler Schuppenzone, Steinbach-Bühlhöchi (Einsiedeln, SZ) |
| SZ | 274 | Glazialkomplex Schwantenaу (Einsiedeln, SZ) |
| SZ, GL | 143 | Hölloch - Windloch - Silberen - Bödmeren, Höhlen- und Karstsystem (Muotathal, SZ, Glarus, GL) |
| SZ, ZH | 275 | Glaziale Flussraumverdrängung, Schindellegi Hütten (SZ, ZH) |
| TG | 40 | Schmelzwasserrinne Bichelsee - Littenheid (TG) |
| TG | 41 | Seitenmoräne des Konstanz-Stadiums des Rheingletschers (TG) |
| TG | 42 | Endmoränenlandschaft Aadorf - Aawangen (Aadorf, Matzingen, TG) |
| TG | 44 | Felsenholz Deckenschotter (Sitterdorf, TG) |
| TG | 45 | Bischofszell Bentonite (Bischofszell, TG) |
| TG | 46 | Molasse (OSM) Mammern (TG) |
| TG | 190 | Thurdurchbruch bei Halden (TG) |

| | | |
|--------|-----|--|
| TG | 191 | Molasse Tongrube Altegg, Mettlen (Bussnang, Schönholzerswilen, TG) |
| TG | 192 | Molasse im Gäh, Nussbaumen (Hüttwilen, TG) |
| TG | 193 | Glimmersandgrube Helsighausen (Raperswilen, TG) |
| TG | 194 | Rheinlauf Wagenhausen - Rheinklingen mit Endmoränenlandschaft (Wagenhausen, Diessenhofen, TG) |
| TG | 195 | Deckenschotter Grosswies, Salen-Reutenen (Homburg, TG) |
| TG | 196 | Molasse Sandgrube Schlatt-Paradies (Schlatt, TG) |
| TG | 197 | Vorstoss-Schottern Ittingen (Warth-Weiningen, TG) |
| TG, ZH | 43 | Endmoränenlandschaft Nussbaumer- und Hüttwilerseen mit Laachersee-Bimstuff (TG, ZH) |
| TI | 47 | Rock glaciers dell'Alta Valle (Malvaglia, TI) |
| TI | 66 | Zona mineralogica del Passo del Campolungo (Lavizzara, Prato Leventina, TI) |
| TI | 67 | Serie Triassico-Giurassica e area carsica del Lucomagno-Piora (TI) |
| TI | 68 | Sito mineralogico ad essonite (Claro, TI) |
| TI | 69 | Mineralizzazioni a distene e staurolite del Pizzo Forno (Chironico, TI) |
| TI | 70 | Zona mineralogica del Gottardo-Fibbia (Airolo, TI) |
| TI | 71 | Marmo di Castione (Arbedo-Castione, TI) |
| TI | 72 | Linea Insubrica sul Passo San Jorio (S. Antonio, TI) |
| TI | 73 | Fascia di Bündnerschiefer della Valle Bedretto-Nufenen (Bedretto, TI) |
| TI | 74 | Palude della Bedrina (Dalpe, Prato (Leventina), TI) |
| TI | 75 | Acqua del Pavone (Grotta di Val Fiorina) (Cevio, TI) |
| TI | 77 | Paesaggio fluviale del fondovalle della Maggia (TI) |
| TI | 78 | Delta del fiume Maggia (Locarno, Ascona, TI) |
| TI | 79 | Fuorisucite di gas naturale fra i delta del Ticino e della Verzasca (Tenero-Contra, Locarno, TI) |
| TI | 80 | Peridotite dell'Alpe Arami (Gorduno, TI) |
| TI | 81 | Paesaggio dei Denti della Vecchia (TI) |
| TI | 82 | Carbonifero di Manno (Manno, TI) |
| TI | 83 | Serie stratigrafica del Monte Caslano e copertura vegetale (Caslano, TI) |
| TI | 84 | Sito geo-paleontologico del Monte San Giorgio (TI) |
| TI | 85 | Gole della Breggia (TI) |
| TI | 86 | Argille di Castel di Sotto (Novazzano, TI) |
| TI | 87 | Gonfolite Lombarda della Collina del Penz (Chiasso, TI) |
| TI | 88 | Distretto minerario aurifero del Malcantone (TI) |
| TI | 89 | Distretto minerario siderurgico della Valle Morobbia (San Antonio, TI) |
| TI | 90 | Paesaggio morenico (Stabio, TI) |
| TI | 91 | Massiccio calcareo carsico transfrontaliero del Monte Generoso (TI) |
| TI | 92 | Conglomerato di Pontegana (TI) |
| TI | 93 | Frana di Campo Vallemaggia (Campo Vallemaggia, TI) |
| TI | 185 | Gole di Ponte Brolla (Tegna, Locarno, TI) |
| TI | 186 | Mineralizzazioni dei porfidi quarziferi (Carona, TI) |
| TI, GR | 76 | Paesaggio geomorfologico della Greina (Blenio, TI, Vrin, GR) |
| UR | 63 | Windgälle, Maderanertal Antiklinale (Silenen, Unterschächen, UR) |
| UR | 179 | Scheidnössli Kristallin/Sediment Kontakt (Erstfeld, UR) |
| UR | 233 | Kristallhöhle Sandbalm (Göschenen, UR) |

| | | |
|------------|-----|---|
| UR | 302 | Aaregranit in der Schöllen und gotthardmassivische Sedimente (Andermatt, UR) |
| UR | 303 | Ultramafitite von Chämleben (Hospental, UR) |
| UR | 305 | Querschnitt durch die Helvetische Hauptüberschiebung (Unterschächen, Spiringen, UR) |
| VD | 48 | Gorges de Covatannaz (Ste-Croix, Vuiteboeuf, VD) |
| VD | 49 | Pyramides de gypse du Col de la Croix (Ollon, VD) |
| VD | 50 | Bloc erratique rhodanien de la Lécherette (Château d'Oex, VD) |
| VD | 51 | Glissement de la Frasse (Ormonts-Dessous, Leysin, VD) |
| VD | 145 | Orbe souterraine (Grotte de Vallorbe et Grotte aux Fées) (Vallorbe, Le Lieu, VD) |
| VD | 146 | Gouffres de Longirod et du Narcoleptique (VD) |
| VD | 224 | Gisement fossilifère de Rivaz-Monod (Rivaz, Puidoux, VD) |
| VD | 225 | Carrière de St-Tiphon (Ollon, VD) |
| VD | 226 | Salines de Bex (Bex, VD) |
| VD | 240 | Crétacé et Molasse de la Chaux-La Vraconnne (Ste-Croix, VD) |
| VD | 256 | Lapiés du Haut-Jura (Marchairuz) (Le Chenit, VD) |
| VD | 257 | Glacière de St-Livres (Bièvre, VD) |
| VD | 268 | Bassin glaciaire d'Ecoteaux (VD) |
| VD | 269 | Source thermale de Lavey-les-Bains (Lavey-Morcles, VD) |
| VD | 277 | Coupe stratigraphique quaternaire de la gravière de Bursins (Bursins, VD) |
| VD | 278 | Colline rocheuse du Mormont, capture de la Venoge, carrières d'Eclépens-Cridec et des Buis (VD) |
| VD | 289 | Pierra Besse et Bloc Monstre (blocs erratiques) (Bex, VD) |
| VD | 290 | La Sagne de la Vraconnne (haut-marais) (Ste-Croix, VD) |
| VD | 291 | Bons du pied du Mont Tendre (sources boueuses) (VD) |
| VD | 292 | Décrochement de Vallorbe-Pontarlier (VD) |
| VD | 296 | Combes anticinales du Haut-Jura (Marchairuz) (Le Chenit, Arzier, VD) |
| VD | 309 | Molasse à charbon de la Paudèze (VD) |
| VD | 311 | Marnière de Bois-Genoud, gisements fossilifères sur la Mèbre et Flon Morand (Lausanne, VD) |
| VD | 312 | Soufrière de Sublin (Bex, VD) |
| VD | 313 | Quartz dans le Flysch de la Tour de Duin (Bex, VD) |
| VD | 315 | Couche à Cérithes de Tête Ronde (Bex, VD) |
| VD, VS | 314 | Nappe de Morcles (VD, VS) |
| VD, BE | 175 | Vallées glaciaires de La Pierreuse-Gummfluh et de l'Etivaz (BE, VD) |
| VD, NE | 30 | Boutonnière anticlinale du Creux du Van et Gorges de l'Areuse (NE, VD) |
| VD, FR | 234 | Gorges de la Veveyse de Féglise (FR, VD) |
| VD, FR | 322 | Réseau des Mortey et Gouffre des Diablotins (FR, VD) |
| VD, FR, BE | 54 | Chaîne des Gastlosen (BE, FR, VD) |
| VS | 52 | Traces de dinosaures de la Golette et mine de Salanfe (Evionnaz, VS) |
| VS | 53 | Pyramides d'Euseigne (Hérémence, VS) |
| VS | 55 | Moraines du stade Egesen du glacier de Tortin (Nendaz, VS) |
| VS | 56 | Eboulement de Sierre (VS) |
| VS | 57 | Eboulement de Derborence (Conthey, VS) |
| VS | 58 | Formes de raccordement postglaciaire de la cluse du Rhône (VS) |

| | | |
|------------|-----|---|
| VS | 59 | Eboulement de Randa (Randa, VS) |
| VS | 64 | Dalle à empreintes de dinosaures d'Emosson (Finhaut, VS) |
| VS | 96 | Mineralienfundstelle Grube Lengenbach (Binn, VS) |
| VS | 111 | Pillow-Lava bei Zermatt (Zermatt, VS) |
| VS | 147 | Grotte des Chamois (Varen, VS) |
| VS | 148 | Grotte de la Crête de Vaas (Sierre (Granges), VS) |
| VS | 149 | Réseau karstique du Grand Cor - Poteu (Fully, Saillon, VS) |
| VS | 150 | Jochloch (Höhle auf dem Jungfraujoch) (Fieschertal, VS) |
| VS | 151 | Réseau des Pingouins et Lapi di Bou (Iapiaz) (Savièse, VS) |
| VS | 152 | Lac souterrain (St-Léonard, VS) |
| VS | 174 | Glacier d'Aletsch et gorges de la Massa (VS) |
| VS | 182 | Mattherhorn (Zermatt, VS) |
| VS | 183 | Moraine latérale du glacier du Rhône à Monthei et Collombey-Muraz (VS) |
| VS | 184 | Glacier du Rhône (Obergoms, VS) |
| VS | 215 | Cirque glaciaire de Gruben (Saas Balen, Saas-Grund, VS) |
| VS | 216 | Paysage périglaciaire du Haut Vallon de Réchy - Pas de Lona (VS) |
| VS | 219 | Glacio-karst de Tsanfleuron (Savièse, VS) |
| VS | 235 | Filons aurifères de Gondo (Gondo-Zwischbergen, VS) |
| VS | 236 | Mine de plomb et de zinc de Goppenstein (Ferden, VS) |
| VS | 238 | Carrière d'ardoises (Leytron, VS) |
| VS | 239 | Carrière de granite de Miéville-Vernayaz (Vernayaz, VS) |
| VS | 241 | Glacier du Gorner et jardin glaciaire de Dossen (Zermatt, VS) |
| VS | 242 | Vallées glaciaires suspendues de la rampe sud du Lötschberg (VS) |
| VS | 249 | Système torrentiel de l'Illgraben (Loèche, VS) |
| VS | 270 | Sources thermales (Loèche-les-Bains, VS) |
| VS | 286 | Glacier et complexe morainique de Tsijore Nouve (Evolène, VS) |
| VS | 298 | Carrière de Dorénaz (Dorénaz, VS) |
| VS | 301 | Carrière de marbre (Saillon, VS) |
| VS, VD | 314 | Nappe de Morcles (VD, VS) |
| ZG | 276 | Glazialkomplex Wilen Schwand bei Menzingen (Neuheim, Menzingen, ZG) |
| ZG | 300 | Schieferkohlenkomplex Greit (Menzingen, ZG) |
| ZG | 319 | Höllgrotte Baar (Bärenhöhle) und Kohlbodenquelle (Menzingen, ZG) |
| ZG, AG, ZH | 164 | Flusslandschaft der mittleren Reuss (AG, ZG, ZH) |
| ZH | 105 | Pfluegstein (Erratiker) ob Erlenbach (Herrliberg, ZH) |
| ZH | 165 | Molasse Albiskette, Reppischtal (ZH) |
| ZH | 167 | Drumlinlandschaft Zürcher Oberland (ZH) |
| ZH | 168 | Glaziallandschaft im Gebiet Neerach-Stadel (ZH) |
| ZH | 169 | Moränen- und Moorlandschaft Katzenseen bei Regensdorf (ZH) |
| ZH | 170 | Gruppe von Erratikern im Unteren Fällandertobel (Fällanden, ZH) |
| ZH | 171 | Deckenschotter Irchel (ZH) |
| ZH | 173 | Glazial geformte Molasselandschaft Lützelsee (Hombrechtikon, ZH) |
| ZH | 210 | Thur-Auen beim Zusammenfluss mit dem Rhein (ZH) |
| ZH | 211 | Entwässerungsrinne Dättnau-Pfungen und spätglazialer Wald Dättnau (Pfungen, Winterthur, ZH) |
| ZH | 212 | Molasse (OSM) und Quartär Küsnachter Tobel (Küsnacht, Zumikon, ZH) |
| ZH | 213 | Kohlenbergwerk Käpfnach (Horgen, ZH) |

| | | |
|------------|-----|---|
| ZH | 214 | Tüfels Chilen Quelltuffkaskaden (Zell, ZH) |
| ZH | 243 | Quarzsandgrube Benken (Benken, Trüllikon, ZH) |
| ZH | 316 | Travertin-Terrassen Quellhorizont Embrach/Freienstein (ZH) |
| ZH, AG | 103 | Lägern - Faltenjura und Steinbruch von Dielsdorf (AG, ZH) |
| ZH, SH | 39 | Rheinfall (Neuhausen a. Rheinfall, SH, Laufen-Uhwiesen, ZH) |
| ZH, SZ | 275 | Glaziale Flussraumverdrängung, Schindellegi Hütten (SZ, ZH) |
| ZH, TG | 43 | Endmoränenlandschaft Nussbaumer- und Hüttwilerseen mit Laachersee-Bimstuff (TG, ZH) |
| ZH, AG, ZG | 164 | Flusslandschaft der mittleren Reuss (AG, ZG, ZH) |

ANNEXE 2

Liste des géotopes par code

| CODE | CANTON | NOM |
|-------------|---------------|---|
| 1 | AI | Molasse/Alpenrand Dunkelberndl (Schwende, AI) |
| 2 | AI | Schichtruppenlandschaft Enggenhütte (Gonten, Schlatt-Haslen, AI) |
| 3 | AI | Wildkirchli, Höhle im Alpstein (Schwende, AI) |
| 4 | BL | Ziegelei Allschwil (Allschwil, BL) |
| 5 | BL | Trias Neue Welt (Münchenstein, BL) |
| 6 | BL | Molasse/Jura Kontakt Schlossgarten (Pfeffingen, BL) |
| 7 | BL | Huppergruben (Lausen, Bubendorf, BL) |
| 8 | BL | Fossilfundstelle Rain (Zunzgen, BL) |
| 9 | BL | Molasse Steinbruch Steinholden (Wittinsburg, BL) |
| 10 | BL | Trias Steingraben (Hemmiken, BL) |
| 11 | BL | Gipsgrube Wissbrun (Zeglingen, BL) |
| 12 | BL | Tongruben Liesberg-Dorf, Andil (Liesberg, BL) |
| 13 | BL | Tongrube Uf Saal (Laufen, BL) |
| 14 | BL | Brislach-Allmet, Höhlen- und Karstgebiet (BL) |
| 15 | FR | Gorges de la Sarine et affluents (FR) |
| 16 | BE, FR | Paysage fluvial de la Singine et carrière de Zollhaus (BE, FR) |
| 17 | FR | Vallée glacio-karstique du Breccaschlund (Charmey, Jaun, FR) |
| 18 | FR | Instabilités de terrain dans le vallon de Falli Hölli - Chleuwena (FR) |
| 19 | GR | Gletschermühlen (Maloja, GR) |
| 20 | GR | Morteratschgletscher (Pontresina, GR) |
| 21 | GR | Roseg- und Tschiervagletscher (Samedan, GR) |
| 22 | GR | Gletschervorfeld Palügletscher (Poschiavo, GR) |
| 23 | GR | Val Bondasca (Bregaglia, GR) |
| 24 | GR | Macunseen (Lavin, GR) |
| 25 | GR | Glaziallandschaft Stazerwald (GR) |
| 26 | GR | Viamala-Schlucht (GR) |
| 27 | GR | Typokalität des Ruchberg-Sandstein (Maienfeld, GR) |
| 28 | LU | Zungenbeckenlandschaft Wauwilermoos-Hagimoos-Mauensee (LU) |
| 29 | LU, BE | Napfbergland Nagelfluh Schuttfläche (LU, BE) |
| 30 | NE, VD | Boutonnière anticlinale du Creux du Van et Gorges de l'Areuse (NE, VD) |
| 31 | NE | Mines d'asphalte (Val-de-Travers, NE) |
| 32 | OW, BE | Melchsee-Frutt, Höhlen- und Karstsysteme (Kerns, Innertkirchen, OW, BE) |
| 33 | SG | Erosionstrichter "Ofenloch" in Nagelfluh (Nesslau-Krummenau, SG) |
| 34 | SG | Necker-Canyon zwischen Mogelsberg und Lütisburg (SG) |
| 35 | SH | Gips Oberwiesen (Schleitheim, SH) |
| 36 | SH | Bohnerzpfad Südranden (SH) |
| 37 | SH | Randen-Biberthal-Verwerfung, Biberegggrube (Thayngen, SH) |
| 38 | SH | Seebi Trias Steinbruch (Schleitheim, SH) |
| 39 | SH | Rheinfall (Neuhausen a. Rheinfall, SH, Laufen-Uhwiesen, ZH) |

| | | |
|----|------------|--|
| 40 | TG | Schmelzwasserrinne Bichelsee - Littenheid (TG) |
| 41 | TG | Seitenmoräne des Konstanz-Stadiums des Rheingletschers (TG) |
| 42 | TG | Endmoränenlandschaft Aadorf - Aawangen (Aadorf, Matzingen, TG) |
| 43 | TG, ZH | Endmoränenlandschaft Nussbaumer- und Hüttwilerseen mit Laachersee-Bimstuff (TG, ZH) |
| 44 | TG | Felsenholz Deckenschotter (Sitterdorf, TG) |
| 45 | TG | Bischofszell Bentonite (Bischofszell, TG) |
| 46 | TG | Molasse (OSM) Mammern (TG) |
| 47 | TI | Rock glaciers dell'Alta Valle (Malvaglia, TI) |
| 48 | VD | Gorges de Covatannaz (Ste-Croix, Vuiteboeuf, VD) |
| 49 | VD | Pyramides de gypse du Col de la Croix (Ollon, VD) |
| 50 | VD | Bloc erratique rhodanien de la Lécherette (Château d'Oex, VD) |
| 51 | VD | Glissement de la Frasse (Ormonts-Dessous, Leysin, VD) |
| 52 | VS | Traces de dinosaures de la Golette et mine de Salanfe (Evionnaz, VS) |
| 53 | VS | Pyramides d'Euseigne (Hérémence, VS) |
| 54 | BE, FR, VD | Chaîne des Gastlosen (BE, FR, VD) |
| 55 | VS | Moraines du stade Egesen du glacier de Tortin (Nendaz, VS) |
| 56 | VS | Eboulement de Sierre (VS) |
| 57 | VS | Eboulement de Derborence (Conthey, VS) |
| 58 | VS | Formes de raccordement postglaciaire de la cluse du Rhône (VS) |
| 59 | VS | Eboulement de Randa (Randa, VS) |
| 60 | GE | Molasse oligocène du Vallon de la Roulavaz (Dardagny, GE) |
| 61 | LU | Molasse (OMM) Ränggloch (Kriens, LU) |
| 62 | LU | Molasse (OMM) (Luzern, LU) |
| 63 | UR | Windgälle, Maderanertal Antiklinale (Silenen, Unterschächen, UR) |
| 64 | VS | Dalle à empreintes de dinosaures d'Emosson (Finhaut, VS) |
| 65 | JU | Ajoulotte souterraine (Haute-Ajoie, JU) |
| 66 | TI | Zona mineralogica del Passo del Campolungo (Lavizzara, Prato Leventina, TI) |
| 67 | TI | Serie Triassico-Giurassica e area carsica del Lucomagno-Piora (TI) |
| 68 | TI | Sito mineralogico ad essonite (Claro, TI) |
| 69 | TI | Mineralizzazioni a distene e staurolite del Pizzo Forno (Chironico, TI) |
| 70 | TI | Zona mineralogica del Gottardo-Fibbia (Airolo, TI) |
| 71 | TI | Marmo di Castione (Arbedo-Castione, TI) |
| 72 | TI | Linea Insubrica sul Passo San Jorio (S. Antonio, TI) |
| 73 | TI | Fascia di Bündnerschiefer della Valle Bedretto-Nufenen (Bedretto, TI) |
| 74 | TI | Palude della Bedrina (Dalpe, Prato (Leventina), TI) |
| 75 | TI | Acqua del Pavone (Grotta di Val Fiorina) (Cevio, TI) |
| 76 | TI, GR | Paesaggio geomorfologico della Greina (Blenio, TI, Vrin, GR) |
| 77 | TI | Paesaggio fluviale del fondovalle della Maggia (TI) |
| 78 | TI | Delta del fiume Maggia (Locarno, Ascona, TI) |
| 79 | TI | Fuorisucite di gas naturale fra i delta del Ticino e della Verzasca (Tenero-Contra, Locarno, TI) |
| 80 | TI | Peridotite dell'Alpe Arami (Gorduno, TI) |
| 81 | TI | Paesaggio dei Denti della Vecchia (TI) |
| 82 | TI | Carbonifero di Manno (Manno, TI) |

| | | |
|-----|--------|--|
| 83 | TI | Serie stratigrafica del Monte Caslano e copertura vegetale (Caslano, TI) |
| 84 | TI | Sito geo-paleontologico del Monte San Giorgio (TI) |
| 85 | TI | Gole della Breggia (TI) |
| 86 | TI | Argille di Castel di Sotto (Novazzano, TI) |
| 87 | TI | Gonfolite Lombarda della Collina del Penz (Chiasso, TI) |
| 88 | TI | Distretto minerario aurifero del Malcantone (TI) |
| 89 | TI | Distretto minerario siderurgico della Valle Morobbia (San Antonio, TI) |
| 90 | TI | Paesaggio morenico (Stabio, TI) |
| 91 | TI | Massiccio calcareo carsico transfrontaliero del Monte Generoso (TI) |
| 92 | TI | Conglomerato di Pontegana (TI) |
| 93 | TI | Frana di Campo Vallemaggia (Campo Vallemaggia, TI) |
| 94 | BE | Zerrkluft Gerstenegg (Guttannen, BE) |
| 95 | SG | Ries-Impakt Sittertobel (Waldkirch, Wittenbach, SG) |
| 96 | VS | Mineralienfundstelle Grube Lengenbach (Binn, VS) |
| 97 | BE | Austernriff Scherpfenrain (Häutligen, BE) |
| 98 | AG | Rissmoränen und Terrassenschotter von Möhlin (AG) |
| 99 | AG | Tafeljura um Wittnau-Herznach (AG) |
| 100 | AG | Schwarzwaldkristallin und Schlossberg von Laufenburg (Laufenburg, AG) |
| 101 | AG | Wasserschloss: Zusammenfluss von Aare, Reuss und Limmat (AG) |
| 102 | AG | Fuchstobelstein (Erratiker) (Remetschwil, AG) |
| 103 | AG, ZH | Lägern - Faltenjura und Steinbruch von Dielsdorf (AG, ZH) |
| 104 | AG | Molasse-Rundhöcker Schlossberg und Gofi bei Lenzburg (Lenzburg, AG) |
| 105 | ZH | Pfluegstein (Erratiker) ob Erlenbach (Herrliberg, ZH) |
| 106 | GR | Val di Campo (Poschiavo, GR) |
| 107 | SO | Klus von Mümliswil (SO) |
| 108 | BE | Luegibodenblock, Granit bei Habkern (Habkern, BE) |
| 109 | BL | Faltenjura Richtifluh - Gerstelfluh (Waldenburg, BL) |
| 110 | BL | Molasse Tennikerfluh (Tenniken, BL) |
| 111 | VS | Pillow-Lava bei Zermatt (Zermatt, VS) |
| 112 | AG | Echinodermensteinbruch von Schinznach (Schinznach, AG) |
| 113 | SO | Mont Terri Ueberschiebung, Oberkirch-Meltingen (SO) |
| 114 | BE, SO | Glaziallandschaft Steinhof bei Herzogenbuchsee (BE, SO) |
| 115 | SO | Gipsgrube Kienberg (Kienberg, SO) |
| 116 | SO | Liatische Stromatolithe, Passwang (Mümliswil-Ramiswil, SO) |
| 117 | SO | Klus Balsthal (Balsthal, Oensingen, SO) |
| 118 | SO | Nidlenloch, Weissenstein (Gänsbrunnen, Oberdorf, SO) |
| 119 | SO | Sauropodenfährten (Oberdorf, Lommiswil, SO) |
| 120 | SO | Typuslokalität Solothurner-Schildkrötenkalke St.Niklaus bei Solothurn (Rüttenen, SO) |
| 121 | SO | Weissenstein Antiklinale / Halbklus Balsthal Balmberg (Balm b. G., Günsberg, SO) |
| 122 | FR | Fossiles du Creux de l'Ours (Châtel-St-Denis, FR) |
| 123 | FR | Séquences de marée du Bois du Devin (Marly-le-Petit, FR) |
| 124 | FR | Molasse des Grottes de la Madeleine, Einsiedelei (Düdingen, FR) |
| 125 | AG | Biwakgrotte (Kaiseraugst, AG) |
| 126 | AI | Dürschrennenhöhle Alpstein (Schwende, AI) |

| | | |
|-----|------------|---|
| 127 | BE | Beatenberg - Siebenhengste - Hohgant, Höhlen- und Karstsystem (BE) |
| 128 | BE | Eishöhle (Hasliberg, BE) |
| 129 | BL | Silberloch (Röschenz, BL) |
| 130 | GL | Muttseehöhle und Marmorhöhle (Glarus Süd, GL) |
| 131 | GR | Höhlen- und Karstsystem der Sulzfluh (St. Antönien, GR) |
| 132 | JU | Grotte de Milandre (Boncourt, Basse-Allaine, JU) |
| 133 | JU | Grotte de Réclère (Haute-Ajoie, JU) |
| 134 | LU | Schrattenfluh, Höhlen- und Karstsystem (Flühli, LU) |
| 135 | NE | Grotte de la Cascade (Val-de-Travers, NE) |
| 136 | NE | Emposieu et moulins souterrains du Col des Roches (Le Locle, NE) |
| 137 | NE | Glacière de Monlési (Val-de-Travers, NE) |
| 138 | NE | Grotte du TM 800 (Fontainemelon, NE) |
| 139 | NW | Bärenhöhle S-4 am Schwalmis (Emmetten, NW) |
| 140 | NW | Friedhöflerhöhle Bürgenstock (Ennetbürgen, NW) |
| 141 | OW | Mondmilchloch am Pilatus (Alpnach, OW) |
| 142 | SG | Churfirsten - Rinquelle, Höhlen- und Karstsystem, Typlokalität Garschella (SG) |
| 143 | SZ, GL | Hölloch - Windloch - Silberen - Bödmeren, Höhlen- und Karstsystem (Muotathal, SZ, Glarus, GL) |
| 144 | SZ | Gütschtobel - Bawangli, Höhlen- und Karstsystem (Muotathal, SZ) |
| 145 | VD | Orbe souterraine (Grotte de Vallorbe et Grotte aux Fées) (Vallorbe, Le Lieu, VD) |
| 146 | VD | Gouffres de Longirod et du Narcoleptique (VD) |
| 147 | VS | Grotte des Chamois (Varen, VS) |
| 148 | VS | Grotte de la Crête de Vaas (Sierre (Granges), VS) |
| 149 | VS | Réseau karstique du Grand Cor - Poteu (Fully, Saillon, VS) |
| 150 | VS | Jochloch (Höhle auf dem Jungfraujoch) (Fieschertal, VS) |
| 151 | VS | Réseau des Pingouins et Lapi di Bou (lapiaz) (Savièse, VS) |
| 152 | VS | Lac souterrain (St-Léonard, VS) |
| 153 | FR | Molasse de Heitenried (FR) |
| 154 | GR | Pillow-Lava auf der Alp Flix, Cuorts (Sur, GR) |
| 155 | GR | Alv-Brekzie Aufschluss am Piz Alv (Pontresina, GR) |
| 156 | GR | Eklogit-Boudins der Alp de Trescolmen (Mesocco, GR) |
| 157 | GR | Bergsturzlandschaft Ils Aults (Domat/Ems (GR)) |
| 158 | GR | Landwasserschlucht (Davos, Filisur, GR) |
| 159 | GR | Bergsturzlandschaft Flims und Ruinalta (GR) |
| 160 | GR | Tumalandschaft (Domat/Ems, GR) |
| 161 | BE | Cluses du Pichoux et d'Undervelier et vallée sèche du Miéry (JU) |
| 162 | BE, JU | Cluses de la Birse (BE, JU) |
| 163 | FR | Colline rocheuse isolée du Mont Vully (Haut-Vully, Bas-Vully, FR) |
| 164 | AG, ZG, ZH | Flusslandschaft der mittleren Reuss (AG, ZG, ZH) |
| 165 | ZH | Molasse Albiskette, Reppischtal (ZH) |
| 166 | LU | Gletschergarten (Luzern, LU) |
| 167 | ZH | Drumlinlandschaft Zürcher Oberland (ZH) |
| 168 | ZH | Glaziallandschaft im Gebiet Neerach-Stadel (ZH) |
| 169 | ZH | Moränen- und Moorlandschaft Katzenseen bei Regensdorf (ZH) |

| | | |
|-----|--------|---|
| 170 | ZH | Gruppe von Erratikern im Unteren Fällandertobel (Fällanden, ZH) |
| 171 | ZH | Deckenschotter Irchel (ZH) |
| 172 | SG | Lignit Böllenbergtobel (SG) |
| 173 | ZH | Glazial geformte Molasselandschaft Lützelsee (Hombrechtikon, ZH) |
| 174 | VS | Glacier d'Aletsch et gorges de la Massa (VS) |
| 175 | BE, VD | Vallées glaciaires de La Pierreuse-Gummfluh et de l'Etivaz (BE, VD) |
| 176 | BE | Aareschlucht bei Meiringen (BE) |
| 177 | SZ | Bergsturzgebiet Goldau (Arth, SZ) |
| 178 | LU, OW | Hagleren - Glaubenberg - Schlieren Flysch (LU, OW) |
| 179 | UR | Scheidnössli Kristallin/Sediment Kontakt (Erstfeld, UR) |
| 180 | SG | Taminaschlucht (Pfäfers, SG) |
| 181 | SG | Rundhöckerlandschaft Melser Hinterberg - Flumser Kleinberg (Flums, Mels, SG) |
| 182 | VS | Mattherhorn (Zermatt, VS) |
| 183 | VS | Moraine latérale du glacier du Rhône à Monthey et Collombey-Muraz (VS) |
| 184 | VS | Glacier du Rhône (Obergoms, VS) |
| 185 | TI | Gole di Ponte Brolla (Tegna, Locarno, TI) |
| 186 | TI | Mineralizzazioni dei porfidi quarziferi (Carona, TI) |
| 187 | GR | Kesch-Ducan-Gebiet mit fossilreicher Prosanto-Formation (GR) |
| 188 | GR | Blockgletscher Val Sassa (Zernez, GR) |
| 189 | JU, NE | Canyon du Doubs (JU, NE) |
| 190 | TG | Thurdurchbruch bei Halden (TG) |
| 191 | TG | Molasse Tongrube Altegg, Mettlen (Bussnang, Schönholzerswilen, TG) |
| 192 | TG | Molasse im Gäh, Nussbaumen (Hüttwilen, TG) |
| 193 | TG | Glimmersandgrube Helsighausen (Raperswilen, TG) |
| 194 | TG | Rheinlauf Wagenhausen - Rheinklingen mit Endmoränenlandschaft (Wagenhausen, Diessenhofen, TG) |
| 195 | TG | Deckenschotter Grosswies, Salen-Reutenen (Homburg, TG) |
| 196 | TG | Molasse Sandgrube Schlatt-Paradies (Schlatt, TG) |
| 197 | TG | Vorstoss-Schottern Ittingen (Warth-Weiningen, TG) |
| 198 | SG | Molasse Goldachdurchbruch Martinstobel (SG) |
| 199 | AR | Glazialkomplex Goldachgletscher Chastenloch (Trogen, AR) |
| 200 | SG | Molasse Schrötteller (Thal, SG) |
| 201 | SG | Lössterrassen- und Rundhöckerlandschaft (Wartau, Sevelen, SG) |
| 202 | SG | Eozäne Riffkalke Gufler (Weesen, SG) |
| 203 | SG | Säugetierlokalität Martinsbrünnetli (Rapperswil-Jona, SG) |
| 204 | SG | Glazialkomplex Müselbach (Kirchberg, SG) |
| 205 | SG | Drumlinlandschaft Wittenbach (Wittenbach, Berg, SG) |
| 206 | AI | Blattverschiebung Sax-Schwendibruch (Schwende, Rüte, AI) |
| 207 | SG | Kartreppenlandschaft Murgsee-Rietlichopf (Quarten, SG) |
| 208 | SG | Glazialkomplex Pizol (Mels, Pfäfers, SG) |
| 209 | SG | Geologisches Fenster Vättis/Kreuzbachtobel (Pfäfers, SG) |
| 210 | ZH | Thur-Auen beim Zusammenfluss mit dem Rhein (ZH) |
| 211 | ZH | Entwässerungsrinne Dättnau-Pfungen und spätglazialer Wald Dättnau (Pfungen, Winterthur, ZH) |
| 212 | ZH | Molasse (OSM) und Quartär Küsnachter Tobel (Küsnacht, Zumikon, ZH) |

| | | |
|-----|--------|--|
| 213 | ZH | Kohlenbergwerk Käpfnach (Horgen, ZH) |
| 214 | ZH | Tüfels Chilen Quelltuffkaskaden (Zell, ZH) |
| 215 | VS | Cirque glaciaire de Gruben (Saas Balen, Saas-Grund, VS) |
| 216 | VS | Paysage périglaciaire du Haut Vallon de Réchy - Pas de Lona (VS) |
| 217 | GR | Blockgletscher Murtel-Corvatsch (Silvaplana, GR) |
| 218 | GR | Blockgletscher Val Muragl (Samedan, GR) |
| 219 | VS | Glacio-karst de Tsanfleuron (Savièse, VS) |
| 220 | SO | Liasgrube Unterer Hauenstein (Hauenstein-Ifenthal, SO) |
| 221 | AG | Fossilfundstelle Tongrube Frick (Frick, AG) |
| 222 | FR | Crétacé-Tertiaire de Roter Sattel (Jaun, FR) |
| 223 | JU | Paléokarst de la carrière de la Petite Morée (Glovelier, JU) |
| 224 | VD | Gisement fossilifère de Rivaz-Monod (Rivaz, Puidoux, VD) |
| 225 | VD | Carrière de St-Triphon (Ollon, VD) |
| 226 | VD | Salines de Bex (Bex, VD) |
| 227 | AG | Thermalquellen (Baden, Ennetbaden, AG) |
| 228 | GL | Fossillocalität Landesplattenberg (Glarus Süd, GL) |
| 229 | JU | Récifs coralliens de St-Ursanne (Clos du Doubs, JU) |
| 230 | JU | Cluse de Goumois (Saignelégier, JU) |
| 231 | SG | Stollensystem Eisenerzbergwerk Gonzen (Sargans, SG) |
| 232 | SZ | Flysch und Klippendecke, Mythen (Schwyz, SZ) |
| 233 | UR | Kristallhöhle Sandbalm (Göschenen, UR) |
| 234 | FR, VD | Gorges de la Veveyse de Fégire (FR, VD) |
| 235 | VS | Filons aurifères de Gondo (Gondo-Zwischbergen, VS) |
| 236 | VS | Mine de plomb et de zinc de Goppenstein (Ferden, VS) |
| 237 | JU | Grès vosgiens des Etangs de Bonfol (Bonfol, Vendlincourt, JU) |
| 238 | VS | Carrière d'ardoises (Leytron, VS) |
| 239 | VS | Carrière de granite de Miéville-Vernayaz (Vernayaz, VS) |
| 240 | VD | Crétacé et Molasse de la Chaux-La Vraonne (Ste-Croix, VD) |
| 241 | VS | Glacier du Gorner et jardin glaciaire de Dossen (Zermatt, VS) |
| 242 | VS | Vallées glaciaires suspendues de la rampe sud du Lötschberg (VS) |
| 243 | ZH | Quarzsandgrube Benken (Benken, Trüllikon, ZH) |
| 244 | NE | Marne crétacée (Cressier, NE) |
| 245 | NE | Localité type du Valanginien (Valangin, NE) |
| 246 | NE | Système karstique Bied-Ponts de Martel-Noiraigue (NE) |
| 247 | SG | Sennwalder Bergsturz (Sennwald, SG) |
| 248 | NE | Bloc erratique de la Pierre-à-Bot (Neuchâtel, NE) |
| 249 | VS | Système torrentiel de l'Illgraben (Loèche, VS) |
| 250 | AI | Glazialkomplex Weissbad-Schwende (Schwende, AI) |
| 251 | AI | Flyschgebirge Fäneren (Rüte, AI) |
| 252 | AI | Faltengebirgslandschaft Fälensee-Altmann (Rüte, AI) |
| 253 | BE | Fallantiklinal bei Plaffeien (Fallvorsessli) (Plaffeien, BE) |
| 254 | NE | Carrière de marne et minéraux rares (Cornaux, NE) |
| 255 | SG | Flysch Flügenspitze (Amden, SG) |
| 256 | VD | Lapiés du Haut-Jura (Marchairuz) (Le Chenit, VD) |
| 257 | VD | Glacière de St-Livres (Bière, VD) |
| 258 | AG | Neunbrunnen-Quellen (Böttstein, AG) |

| | | |
|-----|--------|---|
| 259 | AG | Lindmühle-Quellen (Birmenstorf, AG) |
| 260 | BE | Giessbachfälle von Brienz (Brienz, BE) |
| 261 | BE | Staubbachfall bei Lauterbrunnen (Lauterbrunnen, BE) |
| 262 | BE | Trümmelbachfall von Lauterbrunnen (Lauterbrunnen, BE) |
| 263 | BE | Balmquelle (Lenk, BE) |
| 264 | GR | Mineralwasserquellen (GR) |
| 265 | GR | Dinosaurier-Fährten am Piz dal Diavel im Nationalpark (Zernez, GR) |
| 266 | GR | Manganerzlagerstätte Falotta und Parsettens (Tinizong, GR) |
| 267 | JU | Parois rocheuses à tourelles de Château Cugny (Goumois, JU) |
| 268 | VD | Bassin glaciaire d'Ecoteaux (VD) |
| 269 | VD | Source thermale de Lavey-les-Bains (Lavey-Morcles, VD) |
| 270 | VS | Sources thermales (Loèche-les-Bains, VS) |
| 271 | AG | Molasse Steinbruch Eckwil (Mägenwil, AG) |
| 272 | SZ | Fliesche der Einsiedler Schuppenzone, Steinbach-Buelhöchi (Einsiedeln, SZ) |
| 273 | AG, SO | Windgap Heidenloch (AG, SO) |
| 274 | SZ | Glazialkomplex Schwantenaу (Einsiedeln, SZ) |
| 275 | SZ, ZH | Glaziale Flussraumverdrängung, Schindellegi Hütten (SZ, ZH) |
| 276 | ZG | Glazialkomplex Wilen Schwand bei Menzingen (Neuheim, Menzingen, ZG) |
| 277 | VD | Coupe stratigraphique quaternaire de la gravière de Bursins (Bursins, VD) |
| 278 | VD | Colline rocheuse du Mormont, capture de la Venoge, carrières d'Eclépens-Cridec et des Buis (VD) |
| 279 | AI | Erosionslandschaft Seckbachtobel mit Riesenkonglomerat (Schwende, AI) |
| 280 | AR | Glaziallandschaft Aueli-Tosbach (Urnäsch, Hundwil, AR) |
| 281 | AR | Molassekar Rossmoos (Urnäsch, AR) |
| 282 | SG | Glaziallandschaft Oberes Luterental (Nesslau-Krummenau, SG) |
| 283 | GE | Blocs erratiques des Pierres du Niton (Genève, GE) |
| 284 | GR | Kame Terrassen Camischolas (Disentis, Sedrun, GR) |
| 285 | AR | Randunterschiebung Teufelsmauern (Urnäsch, Hundwil, AR) |
| 286 | VS | Glacier et complexe morainique de Tsijore Nouve (Evolène, VS) |
| 287 | AI, AR | Mittelmoräne Chammhalden (Schwende, AI, Hundwil, AR) |
| 288 | SG | Schichtruppenlandschaft Jona-Diemberg (Rapperswil-Jona, SG) |
| 289 | VD | Pierra Besse et Bloc Monstre (blocs erratiques) (Bex, VD) |
| 290 | VD | La Sagne de la Vraonne (haut-marais) (Ste-Croix, VD) |
| 291 | VD | Bons du pied du Mont Tendre (sources boueuses) (VD) |
| 292 | VD | Décrochement de Vallorbe-Pontarlier (VD) |
| 293 | AG | Moränen des Würm-Maximums des Reussgletschers bei Mellingen (AG) |
| 294 | AG | Moränen des Stetten-I-und -II-Rückzugsstadiums des Reussgletschers bei Stetten (AG) |
| 295 | AG | Moränen des Bremgarten-Stadiums des Reussgletschers bei Bremgarten (AG) |
| 296 | VD | Combes anticinales du Haut-Jura (Marchairuz) (Le Chenit, Arzier, VD) |
| 297 | JU | Traces de dinosaures de Courtedoux (Courtedoux, Haute-Ajoie, JU) |
| 298 | VS | Carrière de Dorénaz (Dorénaz, VS) |
| 299 | SO | Fossillokalität Rickenbach Huppergrube (Rickenbach, SO) |
| 300 | ZG | Schieferkohlenkomplex Greit (Menzingen, ZG) |

| | | |
|-----|------------|--|
| 301 | VS | Carrière de marbre (Saillon, VS) |
| 302 | UR | Aaregranit in der Schöllenengotthardmassivische Sedimente (Andermatt, UR) |
| 303 | UR | Ultramafite von Chämleten (Hospental, UR) |
| 304 | GE | Carrières sous-lacustres (Prégny-Chambésy, GE) |
| 305 | UR | Querschnitt durch die Helvetische Hauptüberschiebung (Unterschächen, Spiringen, UR) |
| 306 | BE | Sediment- und Torfkörper Moosalpsee Faulensee (Spiez, BE) |
| 307 | SG | Falten und Schuppen Wildhäuser Schafberg (Wildhaus-Alt St. Johann, SG) |
| 308 | BE | Glazialablagerung von Thalgrat (Kirchdorf, BE) |
| 309 | VD | Molasse à charbon de la Paudèze (VD) |
| 310 | GL, SG, GR | Glarner Hauptüberschiebung / Tektonikarena Sardona (GL, SG, GR) |
| 311 | VD | Marnière de Bois-Genoud, gisements fossilifères sur la Mèbre et Flon Morand (Lausanne, VD) |
| 312 | VD | Soufrière de Sublin (Bex, VD) |
| 313 | VD | Quartz dans le Flysch de la Tour de Duin (Bex, VD) |
| 314 | VD, VS | Nappe de Morcles (VD, VS) |
| 315 | VD | Couche à Cérithes de Tête Ronde (Bex, VD) |
| 316 | 4 | Travertin-Terrassen Quellhorizont Embrach/Freienstein (ZH) |
| 317 | 5 | Estavelle de l'Hongrin (Haut-Intyamon, FR) |
| 318 | SO | Fledermausloch (Welschenrohr, SO) |
| 319 | ZG | Höllgrotte Baar (Bärenhöhle) und Kohlbodenquelle (Menzingen, ZG) |
| 320 | SG | Kristallhöhle Kobelwald (Oberriet, SG) |
| 321 | BE | Milchbachhöhle-Arboschacht (Grindelwald, BE) |
| 322 | FR, VD | Réseau des Mortey et Gouffre des Diablotins (FR, VD) |

ANNEXE 3

Correspondance entre les codes GIN et les codes actuels

| CODE 2012 | CODE GIN | NOM |
|------------------|-----------------|------------|
|------------------|-----------------|------------|

| | | |
|----|----|---|
| 1 | 3 | Molasse/Alpenrand Dunkelberndl (Schwende, AI) |
| 2 | 5 | Schichtruppenlandschaft Enggenhütte (Gonten, Schlatt-Haslen, AI) |
| 3 | 6 | Wildkirchli, Höhle im Alpstein (Schwende, AI) |
| 4 | 10 | Ziegelei Allschwil (Allschwil, BL) |
| 5 | 12 | Trias Neue Welt (Münchenstein, BL) |
| 6 | 13 | Molasse/Jura Kontakt Schlossgarten (Pfeffingen, BL) |
| 7 | 14 | Huppergruben (Lausen, Bubendorf, BL) |
| 8 | 15 | Fossilfundstelle Rain (Zunzgen, BL) |
| 9 | 16 | Molasse Steinbruch Steinholden (Wittinsburg, BL) |
| 10 | 17 | Trias Steingraben (Hemmiken, BL) |
| 11 | 18 | Gipsgrube Wissbrun (Zeglingen, BL) |
| 12 | 19 | Tongruben Liesberg-Dorf, Andil (Liesberg, BL) |
| 13 | 20 | Tongrube Uf Saal (Laufen, BL) |
| 14 | 21 | Brislach-Allmet, Höhlen- und Karstgebiet (BL) |
| 15 | 23 | Gorges de la Sarine et affluents (FR) |
| 16 | 24 | Paysage fluvial de la Singine et carrière de Zollhaus (BE, FR) |
| 17 | 26 | Vallée glacio-karstique du Breccaschlund (Charmey, Jaun, FR) |
| 18 | 27 | Instabilités de terrain dans le vallon de Falli Hölli - Chleuwena (FR) |
| 19 | 29 | Gletschermühlen (Maloja, GR) |
| 20 | 31 | Morteratschgletscher (Pontresina, GR) |
| 21 | 32 | Roseg- und Tschiervagletscher (Samedan, GR) |
| 22 | 33 | Gletschervorfeld Palügletscher (Poschiavo, GR) |
| 23 | 40 | Val Bondasca (Bregaglia, GR) |
| 24 | 41 | Macunseen (Lavin, GR) |
| 25 | 43 | Glaziallandschaft Stazerwald (GR) |
| 26 | 44 | Viamala-Schlucht (GR) |
| 27 | 47 | Typlokalität des Ruchberg-Sandstein (Maienfeld, GR) |
| 28 | 49 | Zungenbeckenlandschaft Wauwilermoos-Hagimoos-Mauensee (LU) |
| 29 | 52 | Napfbergland Nagelfluh Schuttfläche (LU, BE) |
| 30 | 64 | Boutonnière anticlinale du Creux du Van et Gorges de l'Areuse (NE, VD) |
| 31 | 65 | Mines d'asphalte (Val-de-Travers, NE) |
| 32 | 71 | Melchsee-Frutt, Höhlen- und Karstsysteme (Kerns, Innertkirchen, OW, BE) |
| 33 | 75 | Erosionstrichter "Ofenloch" in Nagelfluh (Nesslau-Krummenau, SG) |
| 34 | 76 | Necker-Canyon zwischen Mogelsberg und Lütisburg (SG) |
| 35 | 77 | Gips Oberwiesen (Schleitheim, SH) |
| 36 | 78 | Bohnerzpfad Südranden (SH) |
| 37 | 79 | Randen-Biberthal-Verwerfung, Bibereggrube (Thayngen, SH) |
| 38 | 80 | Seebi Trias Steinbruch (Schleitheim, SH) |

| | | |
|----|-----|---|
| 39 | 81 | Rheinfall (Neuhausen a. Rheinfall, SH, Laufen-Uhwiesen, ZH) |
| 40 | 82 | Schmelzwasserrinne Bichelsee - Littenheid (TG) |
| 41 | 83 | Seitenmoräne des Konstanz-Stadiums des Rheingletschers (TG) |
| 42 | 84 | Endmoränenlandschaft Aadorf - Aawangen (Aadorf, Matzingen, TG) |
| | | Endmoränenlandschaft Nussbaumer- und Hüttwilerseen mit Laachersee- |
| 43 | 85 | Bimstuff (TG, ZH) |
| 44 | 86 | Felsenholz Deckenschotter (Sitterdorf, TG) |
| 45 | 90 | Bischofszell Bentonite (Bischofszell, TG) |
| 46 | 91 | Molasse (OSM) Mammern (TG) |
| 47 | 96 | Rock glaciers dell'Alta Valle (Malvaglia, TI) |
| 48 | 97 | Gorges de Covatannaz (Ste-Croix, Vuiteboeuf, VD) |
| 49 | 104 | Pyramides de gypse du Col de la Croix (Ollon, VD) |
| 50 | 107 | Bloc erratique rhodanien de la Lécherette (Château d'Oex, VD) |
| 51 | 108 | Glissement de la Frasse (Ormonts-Dessous, Leysin, VD) |
| 52 | 111 | Traces de dinosaures de la Golette et mine de Salanfe (Evionnaz, VS) |
| 53 | 112 | Pyramides d'Euseigne (Hérémence, VS) |
| 54 | 113 | Chaîne des Gastlosen (BE, FR, VD) |
| 55 | 114 | Moraines du stade Egesen du glacier de Tortin (Nendaz, VS) |
| 56 | 115 | Eboulement de Sierre (VS) |
| 57 | 116 | Eboulement de Derborence (Conthey, VS) |
| 58 | 118 | Formes de raccordement postglaciaire de la cluse du Rhône (VS) |
| 59 | 120 | Eboulement de Randa (Randa, VS) |
| 60 | 123 | Molasse oligocène du Vallon de la Roulavaz (Dardagny, GE) |
| 61 | 130 | Molasse (OMM) Ränggloch (Kriens, LU) |
| 62 | 133 | Molasse (OMM) (Luzern, LU) |
| 63 | 152 | Windgälle, Maderanertal Antiklinale (Silenen, Unterschächen, UR) |
| 64 | 153 | Dalle à empreintes de dinosaures d'Emosson (Finhaut, VS) |
| 65 | 154 | Ajoulotte souterraine (Haute-Ajoie, JU) |
| 66 | 155 | Zona mineralogica del Passo del Campolungo (Lavizzara, Prato Leventina, TI) |
| 67 | 157 | Serie Triassico-Giurassica e area carsica del Lucomagno-Piora (TI) |
| 68 | 158 | Sito mineralogico ad essonite (Claro, TI) |
| 69 | 159 | Mineralizzazioni a distene e staurolite del Pizzo Forno (Chironico, TI) |
| 70 | 160 | Zona mineralogica del Gottardo-Fibbia (Airolo, TI) |
| 71 | 162 | Marmo di Castione (Arbedo-Castione, TI) |
| 72 | 163 | Linea Insubrica sul Passo San Jorio (S. Antonio, TI) |
| 73 | 164 | Fascia di Bündnerschiefer della Valle Bedretto-Nufenen (Bedretto, TI) |
| 74 | 165 | Palude della Bedrina (Dalpe, Prato (Leventina), TI) |
| 75 | 166 | Acqua del Pavone (Grotta di Val Fiorina) (Cevio, TI) |
| 76 | 168 | Paesaggio geomorfologico della Greina (Blenio, TI, Vrin, GR) |
| 77 | 170 | Paesaggio fluviale del fondovalle della Maggia (TI) |
| 78 | 171 | Delta del fiume Maggia (Locarno, Ascona, TI) |
| | | Fuorisucite di gas naturale fra i delta del Ticino e della Verzasca (Tenero-) |
| 79 | 172 | Contra, Locarno, TI) |
| 80 | 173 | Peridotite dell'Alpe Arami (Gorduno, TI) |
| 81 | 174 | Paesaggio dei Denti della Vecchia (TI) |
| 82 | 175 | Carbonifero di Manno (Manno, TI) |

| | | |
|-----|-----|--|
| 83 | 176 | Serie stratigrafica del Monte Caslano e copertura vegetale (Caslano, TI) |
| 84 | 177 | Sito geo-paleontologico del Monte San Giorgio (TI) |
| 85 | 178 | Gole della Breggia (TI) |
| 86 | 179 | Argille di Castel di Sotto (Novazzano, TI) |
| 87 | 180 | Gonfolite Lombarda della Collina del Penz (Chiasso, TI) |
| 88 | 181 | Distretto minerario aurifero del Malcantone (TI) |
| 89 | 182 | Distretto minerario siderurgico della Valle Morobbia (San Antonio, TI) |
| 90 | 183 | Paesaggio morenico (Stabio, TI) |
| 91 | 184 | Massiccio calcareo carsico transfrontaliero del Monte Generoso (TI) |
| 92 | 185 | Conglomerato di Pontegana (TI) |
| 93 | 186 | Frana di Campo Vallemaggia (Campo Vallemaggia, TI) |
| 94 | 200 | Zerrkluft Gerstenegg (Guttannen, BE) |
| 95 | 203 | Ries-Impakt Sittertobel (Waldkirch, Wittenbach, SG) |
| 96 | 204 | Mineralienfundstelle Grube Lengenbach (Binn, VS) |
| 97 | 205 | Austernriff Scherpfenrain (Häutligen, BE) |
| 98 | 206 | Rissmoränen und Terrassenschotter von Möhlin (AG) |
| 99 | 207 | Tafeljura um Wittnau-Herznach (AG) |
| 100 | 209 | Schwarzwaldkristallin und Schlossberg von Laufenburg (Laufenburg, AG) |
| 101 | 213 | Wasserschloss: Zusammenfluss von Aare, Reuss und Limmat (AG) |
| 102 | 221 | Fuchstobelstein (Erratiker) (Remetschwil, AG) |
| 103 | 223 | Lägern - Faltenjura und Steinbruch von Dielsdorf (AG, ZH) |
| 104 | 228 | Molasse-Rundhöcker Schlossberg und Gofi bei Lenzburg (Lenzburg, AG) |
| 105 | 229 | Pfluegstein (Erratiker) ob Erlenbach (Herrliberg, ZH) |
| 106 | 275 | Val di Campo (Poschiavo, GR) |
| 107 | 300 | Klus von Mümliswil (SO) |
| 108 | 304 | Luegibodenblock, Granit bei Habkern (Habkern, BE) |
| 109 | 306 | Faltenjura Richtifluh - Gerstefluh (Waldenburg, BL) |
| 110 | 311 | Molasse Tennikerfluh (Tenniken, BL) |
| 111 | 326 | Pillow-Lava bei Zermatt (Zermatt, VS) |
| 112 | 330 | Echinodermensteinbruch von Schinznach (Schinznach, AG) |
| 113 | 331 | Mont Terri Ueberschiebung, Oberkirch-Meltingen (SO) |
| 114 | 334 | Glaziallandschaft Steinhof bei Herzogenbuchsee (BE, SO) |
| 115 | 337 | Gipsgrube Kienberg (Kienberg, SO) |
| 116 | 338 | Liasische Stromatolith, Passwang (Mümliswil-Ramiswil, SO) |
| 117 | 343 | Klus Balsthal (Balsthal, Oensingen, SO) |
| 118 | 344 | Nidlenloch, Weissenstein (Gänsbrunnen, Oberdorf, SO) |
| 119 | 345 | Sauropodenfährten (Oberdorf, Lommiswil, SO) |
| 120 | 347 | Typuslokalität Solothurner-Schildkrötenkalke St.Niklaus bei Solothurn (Rüttenen, SO) |
| 121 | 348 | Weissenstein Antiklinale / Halbklaus Balsthal Balmberg (Balm b. G., Günsberg, SO) |
| 122 | 349 | Fossiles du Creux de l'Ours (Châtel-St-Denis, FR) |
| 123 | 350 | Séquences de marée du Bois du Devin (Marly-le-Petit, FR) |
| 124 | 352 | Molasse des Grottes de la Madeleine, Einsiedelei (Düdingen, FR) |
| 125 | 353 | Biwakgrotte (Kaiseraugst, AG) |
| 126 | 354 | Dürschrennenhöhle Alpstein (Schwende, AI) |

| | | |
|-----|-----|---|
| 127 | 356 | Beatenberg - Siebenhengste - Hohgant, Höhlen- und Karstsystem (BE) |
| 128 | 357 | Eishöhle (Hasliberg, BE) |
| 129 | 359 | Silberloch (Röschenz, BL) |
| 130 | 361 | Muttseehöhle und Marmorhöhle (Glarus Süd, GL) |
| 131 | 363 | Höhlen- und Karstsystem der Sulzfluh (St. Antönien, GR) |
| 132 | 365 | Grotte de Milandre (Boncourt, Basse-Allaine, JU) |
| 133 | 366 | Grotte de Réclère (Haute-Ajoie, JU) |
| 134 | 367 | Schrattenfluh, Höhlen- und Karstsystem (Flühli, LU) |
| 135 | 368 | Grotte de la Cascade (Val-de-Travers, NE) |
| 136 | 369 | Emposieu et moulins souterrains du Col des Roches (Le Locle, NE) |
| 137 | 370 | Glacière de Monlési (Val-de-Travers, NE) |
| 138 | 371 | Grotte du TM 800 (Fontainemelon, NE) |
| 139 | 372 | Bärenhöhle S-4 am Schwalmis (Emmetten, NW) |
| 140 | 373 | Friedhöflerhöhle Bürgenstock (Ennetbürgen, NW) |
| 141 | 375 | Mondmilchloch am Pilatus (Alpnach, OW) |
| 142 | 376 | Churfirsten - Rinquelle, Höhlen- und Karstsystem, Typokalität Garschella (SG) Hölloch - Windloch - Silberen - Bödmeren, Höhlen- und Karstsystem |
| 143 | 379 | (Muotathal, SZ, Glarus, GL) |
| 144 | 380 | Gütschtobel - Bawangli, Höhlen- und Karstsystem (Muotathal, SZ) Orbe souterraine (Grotte de Vallorbe et Grotte aux Fées) (Vallorbe, Le Lieu, VD) |
| 145 | 382 | |
| 146 | 383 | Gouffres de Longirod et du Narcoleptique (VD) |
| 147 | 384 | Grotte des Chamois (Varen, VS) |
| 148 | 385 | Grotte de la Crête de Vaas (Sierre (Granges), VS) |
| 149 | 386 | Réseau karstique du Grand Cor - Poteu (Fully, Saillon, VS) |
| 150 | 387 | Jochloch (Höhle auf dem Jungfraujoch) (Fieschertal, VS) |
| 151 | 388 | Réseau des Pingouins et Lapi di Bou (lapiaz) (Savièse, VS) |
| 152 | 389 | Lac souterrain (St-Léonard, VS) |
| 153 | 393 | Molasse de Heitenried (FR) |
| 154 | 401 | Pillow-Lava auf der Alp Flix, Cuorts (Sur, GR) |
| 155 | 403 | Alv-Brekzie Aufschluss am Piz Alv (Pontresina, GR) |
| 156 | 405 | Eklogit-Boudins der Alp de Trescolmen (Mesocco, GR) |
| 157 | 406 | Bergsturzlandschaft Ils Aults (Domat/Ems (GR)) |
| 158 | 408 | Landwasserschlucht (Davos, Filisur, GR) |
| 159 | 410 | Bergsturzlandschaft Flims und Ruinalta (GR) |
| 160 | 411 | Tumalandschaft (Domat/Ems, GR) |
| 161 | 415 | Cluses du Pichoux et d'Undervelier et vallée sèche du Miéry (JU) |
| 162 | 431 | Cluses de la Birse (BE, JU) |
| 163 | 440 | Colline rocheuse isolée du Mont Vully (Haut-Vully, Bas-Vully, FR) |
| 164 | 442 | Flusslandschaft der mittleren Reuss (AG, ZG, ZH) |
| 165 | 443 | Molasse Albiskette, Reppischtal (ZH) |
| 166 | 446 | Gletschergarten (Luzern, LU) |
| 167 | 453 | Drumlinlandschaft Zürcher Oberland (ZH) |
| 168 | 455 | Glaziallandschaft im Gebiet Neerach-Stadel (ZH) |
| 169 | 456 | Moränen- und Moorlandschaft Katzenseen bei Regensdorf (ZH) |
| 170 | 457 | Gruppe von Erratikern im Unteren Fällandertobel (Fällanden, ZH) |

| | | |
|-----|-----|--|
| 171 | 458 | Deckenschotter Irchel (ZH) |
| 172 | 461 | Lignit Böllenbergtobel (SG) |
| 173 | 462 | Glazial geformte Molasselandschaft Lützelsee (Hombrechtikon, ZH) |
| 174 | 469 | Glacier d'Aletsch et gorges de la Massa (VS) |
| 175 | 471 | Vallées glaciaires de La Pierreuse-Gummifluh et de l'Etivaz (BE, VD) |
| 176 | 472 | Aareschlucht bei Meiringen (BE) |
| 177 | 478 | Bergsturzgebiet Goldau (Arth, SZ) |
| 178 | 479 | Hagleren - Glaubenberg - Schlieren Flysch (LU, OW) |
| 179 | 481 | Scheidnössli Kristallin/Sediment Kontakt (Erstfeld, UR) |
| 180 | 485 | Taminaschlucht (Pfäfers, SG) |
| | | Rundhöckerlandschaft Melser Hinterberg - Flumser Kleinberg (Flums, Mels, SG) |
| 181 | 486 | Mattherhorn (Zermatt, VS) |
| 183 | 490 | Moraine latérale du glacier du Rhône à Monthey et Collombey-Muraz (VS) |
| 184 | 491 | Glacier du Rhône (Obergoms, VS) |
| 185 | 499 | Gole di Ponte Brolla (Tegna, Locarno, TI) |
| 186 | 502 | Mineralizzazioni dei porfidi quarziferi (Carona, TI) |
| 187 | 507 | Kesch-Ducan-Gebiet mit fossilreicher Prosanto-Formation (GR) |
| 188 | 512 | Blockgletscher Val Sassa (Zernez, GR) |
| 189 | 513 | Canyon du Doubs (JU, NE) |
| 190 | 518 | Thurdurchbruch bei Halden (TG) |
| 191 | 521 | Molasse Tongrube Altegg, Mettlen (Bussnang, Schönholzerswilen, TG) |
| 192 | 522 | Molasse im Gäh, Nussbaumen (Hüttwilen, TG) |
| 193 | 524 | Glimmersandgrube Helsighausen (Raperswilen, TG) |
| | | Rheinalauf Wagenhausen - Rheinklingen mit Endmoränenlandschaft (Wagenhausen, Diessenhofen, TG) |
| 194 | 525 | Deckenschotter Grosswies, Salen-Reutenen (Homburg, TG) |
| 196 | 528 | Molasse Sandgrube Schlatt-Paradies (Schlatt, TG) |
| 197 | 530 | Vorstoss-Schottern Ittingen (Warth-Weiningen, TG) |
| 198 | 532 | Molasse Goldachdurchbruch Martinstobel (SG) |
| 199 | 533 | Glazialkomplex Goldachgletscher Chastenloch (Trogen, AR) |
| 200 | 534 | Molasse Schrönteller (Thal, SG) |
| 201 | 536 | Lössterrassen- und Rundhöckerlandschaft (Wartau, Sevelen, SG) |
| 202 | 538 | Eozäne Riffkalke Gufler (Weesen, SG) |
| 203 | 540 | Säugetierlokalität Martinsbrünnetli (Rapperswil-Jona, SG) |
| 204 | 541 | Glazialkomplex Müselbach (Kirchberg, SG) |
| 205 | 547 | Drumlinlandschaft Wittenbach (Wittenbach, Berg, SG) |
| 206 | 552 | Blattverschiebung Sax-Schwendibruch (Schwende, Rüte, AI) |
| 207 | 563 | Kartreppenlandschaft Murgsee-Rietlichopf (Quarten, SG) |
| 208 | 567 | Glazialkomplex Pizol (Mels, Pfäfers, SG) |
| 209 | 568 | Geologisches Fenster Vättis/Kreuzbachtobel (Pfäfers, SG) |
| 210 | 591 | Thur-Auen beim Zusammenfluss mit dem Rhein (ZH) |
| | | Entwässerungsrinne Dättnau-Pfungen und spätglazialer Wald Dättnau (Pfungen, Winterthur, ZH) |
| 211 | 595 | Molasse (OSM) und Quartär Küsnachter Tobel (Küsnacht, Zumikon, ZH) |
| 212 | 596 | Kohlenbergwerk Käpfnach (Horgen, ZH) |

| | | |
|-----|-----|--|
| 214 | 601 | Tüfels Chilen Quelltuffkaskaden (Zell, ZH) |
| 215 | 603 | Cirque glaciaire de Gruben (Saas Balen, Saas-Grund, VS) |
| 216 | 604 | Paysage périglaciaire du Haut Vallon de Réchy - Pas de Lona (VS) |
| 217 | 608 | Blockgletscher Murtel-Corvatsch (Silvaplana, GR) |
| 218 | 609 | Blockgletscher Val Muragl (Samedan, GR) |
| 219 | 615 | Glacio-karst de Tsanfleuron (Saviese, VS) |
| 220 | 618 | Liasgrube Unterer Hauenstein (Hauenstein-Ifenthal, SO) |
| 221 | 619 | Fossilfundstelle Tongrube Frick (Frick, AG) |
| 222 | 620 | Crétacé-Tertiaire de Roter Sattel (Jaun, FR) |
| 223 | 623 | Paléokarst de la carrière de la Petite Morée (Glovelier, JU) |
| 224 | 624 | Gisement fossilifère Rivaz-Monod (Rivaz, Puidoux, VD) |
| 225 | 625 | Carrière de St-Tiphon (Ollon, VD) |
| 226 | 626 | Salines de Bex (Bex, VD) |
| 227 | 630 | Thermalquellen (Baden, Ennetbaden, AG) |
| 228 | 633 | Fossillokalität Landesplattenberg (Glarus Süd, GL) |
| 229 | 639 | Récifs coralliens de St-Ursanne (Clos du Doubs, JU) |
| 230 | 640 | Cluse de Goumois (Saignelégier, JU) |
| 231 | 643 | Stollensystem Eisenerzbergwerk Gonzen (Sargans, SG) |
| 232 | 645 | Flysch und Klippendecke, Mythen (Schwyz, SZ) |
| 233 | 647 | Kristallhöhle Sandbalm (Göschenen, UR) |
| 234 | 650 | Gorges de la Veveyse de Fégire (FR, VD) |
| 235 | 652 | Filons aurifères de Gondo (Gondo-Zwischbergen, VS) |
| 236 | 653 | Mine de plomb et de zinc de Goppenstein (Ferden, VS) |
| 237 | 656 | Grès vosgiens des Etangs de Bonfol (Bonfol, Vendlincourt, JU) |
| 238 | 683 | Carrière d'ardoises (Leytron, VS) |
| 239 | 684 | Carrière de granite de Miéville-Vernayaz (Vernayaz, VS) |
| 240 | 685 | Crétacé et Molasse de la Chaux-La Vraconnne (Ste-Croix, VD) |
| 241 | 728 | Glacier du Gorner et jardin glaciaire de Dossen (Zermatt, VS) |
| 242 | 729 | Vallées glaciaires suspendues de la rampe sud du Lötschberg (VS) |
| 243 | 740 | Quarzsandgrube Benken (Benken, Trüllikon, ZH) |
| 244 | 741 | Marne crétacée (Cressier, NE) |
| 245 | 743 | Localité type du Valanginien (Valangin, NE) |
| 246 | 745 | Système karstique Bied-Ponts de Martel-Noiraigue (NE) |
| 247 | 754 | Sennwalder Bergsturz (Sennwald, SG) |
| 248 | 765 | Bloc erratique de la Pierre-à-Bot (Neuchâtel, NE) |
| 249 | 786 | Système torrentiel de l'Illgraben (Loèche, VS) |
| 250 | 901 | Glazialkomplex Weissbad-Schwende (Schwende, AI) |
| 251 | 902 | Flyschgebirge Fäneren (Rüte, AI) |
| 252 | 903 | Faltengebirgslandschaft Fälensee-Altmann (Rüte, AI) |
| 253 | 906 | Fallantiklinal bei Plaffeien (Fallvorsessli) (Plaffeien, BE) |
| 254 | 910 | Carrière de marne et minéraux rares (Cornaux, NE) |
| 255 | 914 | Flysch Flügenspitz (Amden, SG) |
| 256 | 919 | Lapiés du Haut-Jura (Marchairuz) (Le Chenit, VD) |
| 257 | 920 | Glacière de St-Livres (Bière, VD) |
| 258 | 951 | Neunbrunnen-Quellen (Böttstein, AG) |
| 259 | 952 | Lindmühle-Quellen (Birmenstorf, AG) |

| | | |
|-----|------|--|
| 260 | 957 | Giessbachfälle von Brienz (Brienz, BE) |
| 261 | 959 | Staubbachfall bei Lauterbrunnen (Lauterbrunnen, BE) |
| 262 | 960 | Trümmelbachfall von Lauterbrunnen (Lauterbrunnen, BE) |
| 263 | 961 | Balmquelle (Lenk, BE) |
| 264 | 963 | Mineralwasserquellen (GR) |
| 265 | 964 | Dinosaurier-Fährten am Piz dal Diavel im Nationalpark (Zernez, GR) |
| 266 | 965 | Manganerzlagerstätte Falotta und Parsettens (Tinizong, GR) |
| 267 | 966 | Parois rocheuses à tourelles de Château Cugny (Goumois, JU) |
| 268 | 977 | Bassin glaciaire d'Ecoteaux (VD) |
| 269 | 978 | Source thermale de Lavey-les-Bains (Lavey-Morcles, VD) |
| 270 | 979 | Sources thermales (Loèche-les-Bains, VS) |
| 271 | 981 | Molasse Steinbruch Eckwil (Mägenwil, AG) |
| 272 | 990 | Fliesche der Einsiedler Schuppenzone, Steinbach-Buelhöchi (Einsiedeln, SZ) |
| 273 | 1001 | Windgap Heidenloch (AG, SO) |
| 274 | 1002 | Glazialkomplex Schwantenu (Einsiedeln, SZ) |
| 275 | 1003 | Glaziale Flussraumverdrängung, Schindellegi Hütten (SZ, ZH) |
| 276 | 1004 | Glazialkomplex Wilen Schwand bei Menzingen (Neuheim, Menzingen, ZG) |
| 277 | 1005 | Coupe stratigraphique quaternaire de la gravière de Bursins (Bursins, VD) Colline rocheuse du Mormont, capture de la Venoge, carrières d'Eclépens-Cridéc et des Buis (VD) |
| 279 | 1007 | Erosionslandschaft Seckbachtobel mit Riesenkonglomerat (Schwende, AI) |
| 280 | 1008 | Glaziallandschaft Aueli-Tosbach (Urnäsch, Hundwil, AR) |
| 281 | 1009 | Molassekar Rossmoos (Urnäsch, AR) |
| 282 | 1010 | Glaziallandschaft Oberes Luterental (Nesslau-Krummenau, SG) |
| 283 | 1011 | Blocs erratiques des Pierres du Niton (Genève, GE) |
| 284 | 1012 | Kame Terrassen Camischolas (Disentis, Sedrun, GR) |
| 285 | 1013 | Randunterschiebung Teufelsmauern (Urnäsch, Hundwil, AR) |
| 286 | 1014 | Glacier et complexe morainique de Tsijore Nouve (Evolène, VS) |
| 287 | 1015 | Mittelmoräne Chammhalden (Schwende, AI, Hundwil, AR) |
| 288 | 1016 | Schichtrinnenlandschaft Jona-Diemberg (Rapperswil-Jona, SG) |
| 289 | 1017 | Pierra Besse et Bloc Monstre (blocs erratiques) (Bex, VD) |
| 290 | 1018 | La Sagne de la Vraonne (haut-marais) (Ste-Croix, VD) |
| 291 | 1019 | Bons du pied du Mont Tendre (sources boueuses) (Bièvre, VD) |
| 292 | 1020 | Décrochement de Vallorbe-Pontarlier (VD) |
| 293 | 1031 | Moränen des Würm-Maximums des Reussgletschers bei Mellingen (AG) Moränen des Stetten-I-und -II-Rückzugsstadiums des Reussgletschers bei Stetten (AG) |
| 295 | 1033 | Moränen des Bremgarten-Stadiums des Reussgletschers bei Bremgarten (AG) |
| 296 | 1034 | Combes anticinales du Haut-Jura (Marchairuz) (Le Chenit, Arzier, VD) |
| 297 | 1035 | Traces de dinosaures de Courtedoux (Courtedoux, Haute-Ajoie, JU) |
| 298 | 1037 | Carrière de Dorénaz (Dorénaz, VS) |
| 299 | 1201 | Fossillocalität Rickenbach Huppergrube (Rickenbach, SO) |
| 300 | 1202 | Schieferkohlenkomplex Greit (Menzingen, ZG) |
| 301 | 1203 | Carrière de marbre (Saillon, VS) |

- Aaregranit in der Schöllenen und gotthardmassivische Sedimente (Andermatt,
 302 1500 UR)
- 303 1501 Ultramafitite von Chämleten (Hospental, UR)
- 304 1502 Carrières sous-lacustres (Prégny-Chambésy, GE)
 Querschnitt durch die Helvetische Hauptüberschiebung (Unterschächen,
 305 1503 Spiringen, UR)
- 306 1504 Sediment- und Torfkörper Moosalp-Mend Faulensee (Spiez, BE)
- 307 1505 Falten und Schuppen Wildhuser Schafberg (Wildhaus-Alt St. Johann, SG)
- 308 1507 Glazialablagerung von Thalgrut (Kirchdorf, BE)
- 309 1508 Molasse à charbon de la Paudèze (VD)
- 310 1509 Glarner Hauptüberschiebung / Tektonikarena Sardona (GL, SG, GR)
 Marnière de Bois-Genoud, gisements fossilifères sur la Mèbre et Flon Morand
 311 1510 (Lausanne, VD)
- 312 1511 Soufrière de Sublin (Bex, VD)
- 313 1512 Quartz dans le Flysch de la Tour de Duin (Bex, VD)
- 314 1513 Nappe de Morcles (VD, VS)
- 315 1514 Couche à Cérites de Tête Ronde (Bex, VD)
- 316 1515 Travertin-Terrassen Quellhorizont Embrach/Freienstein (ZH)
- 317 10100 Estavelle de l'Hongrin (Haut-Intyamon, FR)
- 318 10101 Fledermausloch (Welschenrohr, SO)
- 319 10102 Höllgrotte Baar (Bärenhöhle) und Kohlbodenquelle (Menzingen, ZG)
- 320 10103 Kristallhöhle Kobelwald (Oberriet, SG)
- 321 10104 Milchbachhöhle-Arboschacht (Grindelwald, BE)
- 322 10105 Réseau des Mortey et Gouffre des Diablotins (FR, VD)

Annexe 4

Liste globale des géotopes supprimés (par canton)

- AG** 739 Emma Kunz
210 Aargauer Faltenjura im Staffelegggebiet (AG)
211 Molasse-Rundhöcker Staufberg bei Lenzburg
214 fusionnés dans le GIN1031
215 fusionnés dans le GIN1031
216 fusionnés dans le GIN1031
217 fusionnés dans le GIN1032
218 fusionnés dans le GIN1032
219 fusionnés dans le GIN1032
224 fusionnés dans le GIN1033
225 fusionnés dans le GIN1033
226 fusionnés dans le GIN1033
- AI** 545 Rotsteinpass Schwende
558 Felskuppe Flammeneggzug Rüte / Schwenden (AI)
- AR** 678 Molassekar Rossmoos, Urnäsch (AR)
679 Molasse Sturzenegg, Herisau
- BE** 621 Traces de dinosaures de la Combe du Pont (Moutier, BE)
196 Saurierfährten La Heutte (BE)
622 Monbautier
Engehalde
590 Glacier d'Aletsch et gorges de la Massa (BE/VS)
- BL** 11 Ziegelei Oberwil (BL)
- GR** 413 Prosanto Schichten
399 Parsettens Tinjong
- JU** 638 Mines de fer pisolithique de Delémont (JU)
989 Sur combe ronde

- LU** 132 Vierwaldstättersee
325 Pilatus (LU, NW, OW)
- NW** 74 Bergsturzgebiet Stanserhorn (NW, OW)
325 Pilatus (LU, NW, OW)
132 Vierwaldstättersee
- OW** 74 Bergsturzgebiet Stanserhorn (NW, OW)
132 Vierwaldstättersee
325 Pilatus (LU, NW, OW)
- SG** 915 Garschella Grabs
550 Oligozäne Baumstämme Krummenau (SG)
460 Bütschwil-Lütisburg (Thur-Canyon)
92 Hörnlibergland und Tössoberlauf (SG-TG-SH)
556 Bischofszell (SG, TG)
760 Terrasseabfolge Wartau, Sevelen (SG)
- SH** 432 Tafeljura um Randen
- SO** 644 Huppergrube Hintere Malson, Welschenrohr (SO)
- SZ** 991 Gämsstafel, Muotathal
993 Toralp, Muotathal
995 Seewen, Schwyz
132 Vierwaldstättersee
444 Moränenlandschaft Menzingen (SZ, ZG, ZH)
- TG** 89 Hohrain, Wäldi
973 Widen
- TI** 681 Miniere Medeglia
501 Mt San Salvatore
917 Torbiera al Paü Coldrerio (TI)

UR
132 Vierwaldstättersee
918 Altchilch, Andermatt - > GIN1500
646 Klausenpass - > GIN1503
975 Chämleten, Hospental - >GIN1501

VD
Mines et Rapilles de Baulmes
98 fusionnés avec GIN1034
99 fusionnés avec GIN1034
100 fusionnés avec GIN1034
425 La Sarraz-Gorges du Nozon

VS
654 Mine de charbon de la Méreune (Dorénaz, VS)
677 ??

ZG
444 Moränenlandschaft Menzingen (SZ, ZG, ZH)

ZH
922 Chrästel, Buchs
597 Kiesgrube Gossau
121 Lägern
1506 Spätglazialer Wald Dättnau -> GIN 595
444 Moränenlandschaft Menzingen (SZ, ZG, ZH)

Liste globale des géotopes gardés en attente (par canton)

AG Géotopes à intégrer

627 Herznach
738 Schümel

Géotopes avec données insuffisantes

953 Rohr
629 Zurzach
628 Schweizerhalle

Eventuels futurs géotopes

Hirschthal (648.8 / 249.4)
Bierkeller (640.2 / 238.)
Küttigen (645.8 /250.6)
Hängendorf
Gansingen
Randen
Mellikon
Eisengraben-Mönthal (651.56 / 264.08)

Divers (figurent sur la database)

212 Aareschlucht von Brugg
208 Endmoränenzone von Staffelbach
433 Stromschnelle Koblenzer Laufen

AI Divers (figurent sur la database)

904 Glaziallandschaft und Erosionskerbe Rotbachschlucht bei Teufen

AR Géotopes avec données insuffisantes

554 Molasse Urnäschtobel, Urnäsch (AR)

BE Géotopes à intégrer

905 Carrière Reuchenette
Wischberg, Bumbach, Marbach

Géotopes avec données insuffisantes

908 Grindelwald Marmorsteinbruch
632 Trachsellauenen, Lauterbrunnen
Mervilier Mont Girod - Huppersand
Langenegggrat Stockhorn
Gasterntal
Erzegg-Planplatte
Pfingstegg-Milchbach-Siderolitikum

Eventuels futurs géotopes

Brüttelen
Wynau

Divers (figurent sur la database)

421 Franches Montagnes (BE, JU)
956 Funtenenquelle, Meiringen
588 Marge proglaciaire du Petersgrat et Kanderfirn
958 Mineralquelle Weissenburg

BL Géotopes avec données insuffisantes

22 Lauchflue

FR Eventuels futurs géotopes

Tuffière
Wallenried

GL Géotopes à intégrer

909 Klausenpass Linthal
581 Foostock-Mels-Elm
414 Elm-Sool-Flims

Géotopes avec données insuffisantes

562 Bergwerk Murtschen
671 Guppen Schwanden

Eventuels futurs géotopes

Kärpfbrücke am Niederenzbach
Kristallin Halbfenster Biferten Ochsenstock
Karbon Sedimente (Kohle) am Bifertengrätsli

GR Géotopes à intégrer

Piz Mitgel + Ela Hütte + Tinzenhorn - Dinofundstelle
Kreuzmoränen Passegggen
Egesenstadion Auf Lullier Pass
Wasserscheide Lunghin

JU Eventuels futurs géotopes

Charmoilles
Chevenez
La Caquerelle
Châtillon
soulce

LU Divers (figurent sur la database)

208 Endmoränenzone von Staffelbach

NE Géotopes avec données insuffisantes

748 Corridor aux loups

Divers (figurent sur la database)

766 Bloc erratique du Grison (La Sagne, NE)
767 Bloc erratique du Mont d'Amin (NE)
911 Blocs erratiques du Bois du Devens (NE)
642 Cirque de St-Sulpice / Source de l'Areuse
967 Combe anticlinale des Cugnets (Boudevilliers, NE)

NW Géotopes à intégrer

Ristetten - Beckenried

Géotopes avec données insuffisantes

74 Bergsturzgebiet Stanserhorn

OW Géotopes avec données insuffisantes

- 66 Feltschiloch
- 67 Klippendecke Giswilerstock (OW)
- 68 Kristallin/Kalk Kontakt Firnalpeli-Wendenjoch (OW)
- 69 Bergsturzgebiet Engelberg

SG Géotopes avec données insuffisantes

- 551 Fly-Falte, Amden (SG)
- 912 Molasse Mattstock-Speer, Amden (SG)
- 542 Bimstufflage Bergwiesen, Waldkirch (SG)
- 584 Pliozän Tannenberg, Waldkirch (SG)
- 549 Abflusssrinnen Sargans bis Bad Ragaz (SG)

Divers (figurent sur la database)

- 559 Ueberschiebungskontakte, Mättler Höchi, Amden (SG)
- 560 Ueberschiebungskontakt Brunnegg, Amden (SG)
- 758 Schmelzwasserrinne Valcupp

SH Géotopes avec données insuffisantes

Kesslerloch

SO Géotopes avec données insuffisantes

- 333 Wanderblöcke von Dornach
- 332 Kalkschichten Schofgraben, Balm b. Günsberg (SO)
- 925 Wanderblock (?)
- 969 Hölzli, Obergerlafingen

Eventuels futurs géotopes

Boningen
Egerkingen

SZ Géotopes avec données insuffisantes

- 992 Roggenstöckli, Muotathal
- 994 Brünnen, Hinter Seeberg, Muotathal
- 997 Teuffibach, Gersau

SZ Eventuels futurs géotopes

Roggensstock

Divers (figurent sur la database)

445 Moorlandschaft Rothenthurm
444 Moränenlandschaft Menzingen (SZ/ZG/ZH)

TI Géotopes à intégrer

Pietra Ollare Fundstelle in Valle Maggia

Divers (figurent sur la database)

TI220 Minerali di terre rares delle pegmatiti di Ascona-Brissago

UR Divers (figurent sur la database)

974 Schöllenenschlucht

VD Géotopes avec données insuffisantes

976 Source thermale d'Yverdon-les-Bains (VD)
651 Mollendruz, Le Pont, Vallorbe

Divers (figurent sur la database)

103 Lapiés de Famelon (VD)
466 Vallon de Nant (VD)

Eventuels futurs géotopes

Site à mammouths Brassus

VS Géotopes avec données insuffisantes

Monchemin
Anthrazitminen l'Au d'Arbignon

Divers (figurent sur la database)

588 Marge proglaciaire du Petersgrat et Kanderfirn
607 Vallon périglaciaire du Furggentaelti (VS)
654 Mine de charbon de la Méreune (Dorénaz, VS)

VS Eventuels futurs géotopes

Pierre Ollaire
Ni-Bi: Pipjitälli - Turtmanntal

ZG Divers (figurent sur la database)

445 Moorlandschaft Rothenthurm
444 Moränenlandschaft Menzingen (SZ/ZG/ZH)

ZH Géotopes avec données insuffisantes

980 Goldenes Tor, Kloten
602 Rhein, Rüdlingen
598 Kiesgrube Wasterkingen (ZH)

Divers (figurent sur la database)

719 Endmoränenwälle des Schlierenstadions
736 Pfauenstein (Erratiker) bei Würberg (ZH)
444 Moränenlandschaft Menzingen (SZ/ZG/ZH)

Eventuels futurs géotopes

Sites à mammouths Niederweningen

| | |
|--------------------|---|
| Nom | Geotopes_2012_plg |
| Type | Type Shapefile polygones |
| Date | 1 ^{er} novembre 2012 |
| Contenu | Périmètres des géotopes suisses surfaciques, version finale du 1 ^{er} novembre 2012. |
| Nb d'objets | 287 polygones correspondant à 284 géotopes. |
| Origine | Ces périmètres proviennent : (1) des périmètres du fichier de formes (polygone) Geotopes_global_2011_plg présenté en annexe du rapport « Révision de l'inventaire des géotopes suisses : rapport du groupe de travail 2008-2011 », réalisé par Berger <i>et al.</i> (2011). Ce rapport a été présenté à l'OFEV en mars 2011. (2) modifié par Monica Constandache sur la base des informations du groupe de travail : ajouts, modification des tracés, suppression. |
| Attributs | ID: numéro d'inventaire attribué (numérotation 2012) NOM : nom du géotope (mise à jour 2012) CentroidX : abscisse du centroïde du géotope (CH1903) CentroidY : ordonnée du centroïde du géotope (CH1903) AREA : surface du géotope [m ²] ALTITUDE : altitude du centroïde du géotope (MNT25) [m] AFFICHAGE : utilisé pour la publication des cartes |
| Auteur | Monica Constandache |

Métadonnées

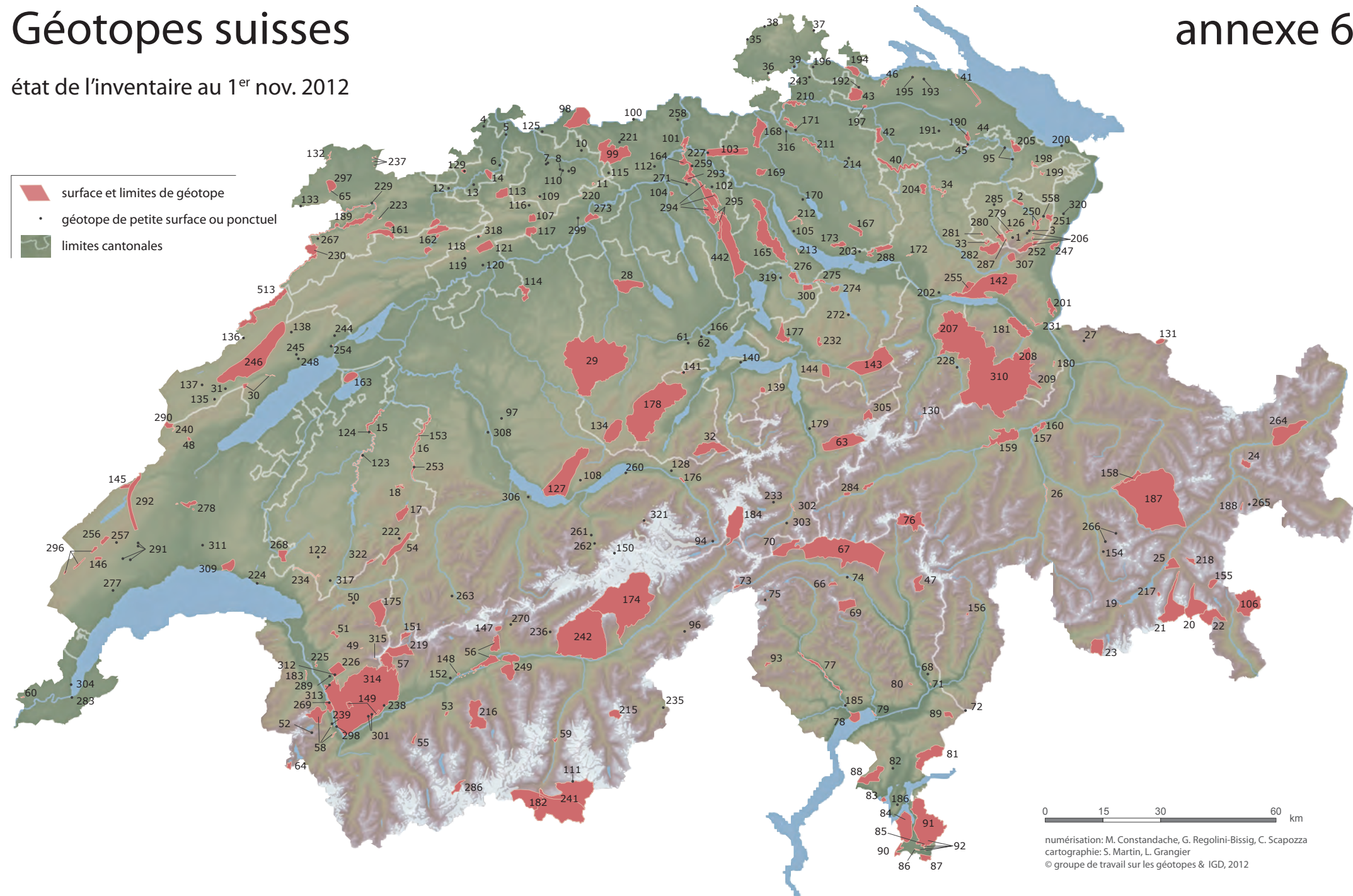
| | |
|--------------------|--|
| Nom | Geotopes_2012_pts |
| Type | Shapefile points |
| Date | 1 ^{er} novembre 2012 |
| Contenu | Localisation des géotopes suisses ponctuels, version finale du 1 ^{er} novembre 2012. |
| Nb d'objets | 39 points correspondant à 38 géotopes |
| Origine | Ces points proviennent : (1) des objets du fichier de formes (points) Geotopes_global_2011_pts présenté en annexe du rapport « Révision de l'inventaire des géotopes suisses : rapport du groupe de travail 2008-2011 », réalisé par Berger <i>et al.</i> (2011). Ce rapport a été présenté à l'OFEV en mars 2011. (2) modifié par Monica Constandache sur la base des informations du groupe de travail : transformation en périmètres, suppression. |
| Attributs | OBJECTID : numéro d'objet (information inutile) ID : numéro d'inventaire attribué (numérotation 2012) NOM : nom du géotope (mise à jour 2012) CentroidX : abscisse du centroïde du géotope (CH1903) CentroidY : ordonnée du centroïde du géotope (CH1903) ALTITUDE : altitude du centroïde du géotope (MNT25) [m] AFFICHAGE : utilisé pour la publication des cartes |
| Auteur | Monica Constandache |

Géotopes suisses

annexe 6

état de l'inventaire au 1^{er} nov. 2012

- surface et limites de géotope
- géotope de petite surface ou ponctuel
- limites cantonales



numérisation: M. Constandache, G. Regolini-Bissig, C. Scapozza
cartographie: S. Martin, L. Grangier
© groupe de travail sur les géotopes & IGD, 2012

| | | | | | | | |
|----|--|-----|--|-----|---|-----|--|
| 1 | Molasse/Alpenrand Dunkelberndli (Schwende, AI) | 84 | Sito geo-paleontologico del Monte San Giorgio (TI) | 166 | Gletschergarten (Luzern, LU) | 248 | Bloc erratique de la Pierre-à-Bot (Neuchâtel, NE) |
| 2 | Schichtrippenlandschaft Enggenhütte (Gonten, Schlatt-Haslen, AI) | 85 | Gole della Breggia (TI) | 167 | Drumlinlandschaft Zürcher Oberland (ZH) | 249 | Système torrentiel de l'Illgraben (Loèche, VS) |
| 3 | Wildkarst im Alpstein (Schwende, AI) | 86 | Argille di Castel di Sotto (Novazzano, TI) | 168 | Glaziolandschaft im Gebiet Neerach-Stadel (ZH) | 250 | Glaziokomplex Weissbad-Höhle (Schwende, AI) |
| 4 | Ziegelei Altschwil (Allschwil, BL) | 87 | Gonfolite Lombarda della Collina del Penz (Chiasso, TI) | 169 | Moränen- und Moorlandschaft Katzenzen bei Regensdorf (ZH) | 251 | Flyschgebirge Fäneren (Rüte, AI) |
| 5 | Trias Neue Welt, (Münchenstein, BL) | 88 | Distretto mineralario aurifero del Malcantone (TI) | 170 | Gruppe von Erratikern im Unterer Fällandertobel (Fällanden, ZH) | 252 | Faltengebirgslandschaft Falensee-Altmann (Rüte, AI) |
| 6 | Molasse/Jura Kontakt Schlossgarten (Pfeffingen, BL) | 89 | Distretto mineralario siderurgico della Valle Morobbia (San Antonio, TI) | 171 | Deckenschotter Irchel (ZH) | 253 | Fallantikinal bei Plaffeien (Fallvorressli) (Plaffeien, BE) |
| 7 | Huppergruben (Lausen, Bubendorf, BL) | 90 | Paesaggio morenico (Stabio, TI) | 172 | Lignit Böllenbergtobel (SG) | 254 | Carrière de marne et minéraux rares (Cornaux, NE) |
| 8 | Fossilmindstelle Rain (Zunzen, BL) | 91 | Massiccio calcareo carsico transfrontaliero del Monte Generoso (TI) | 173 | Glazial geformte Molassalandschaft Lützelsee (Hombrechtikon, ZH) | 255 | Flysch Flügenspitze (Ammer, SG) |
| 9 | Molasse Steinbruch Steinholden (Wittnau, BL) | 92 | Conglomerato di Pontegana (TI) | 174 | Glacier d'Aletsch et gorges de la Massa (VS) | 256 | Lapiés du Haut-Jura (Marchairuz) (Le Chenit, VD) |
| 10 | Trias Steingraben (Heimiken, BL) | 93 | Frana di Campo Vallemaggia (Campo Vallemaggia, TI) | 175 | Vallées glaciaires de La Pierreuse-Gummifluh et de l'Etivaz (BE, BD) | 257 | Glacière de St-Livres (Bière, VD) |
| 11 | Gipsquelle Wissbrunn (Zuglingen, BL) | 94 | Zerkluft Gerstenegg (Guttannen, BE) | 176 | Aareschlucht bei Meiringen (BE) | 258 | Neunbrunnen-Quellen (Bottstein, AG) |
| 12 | Tongruben Liesberg-Dorf, Andil (Liesberg, BL) | 95 | Ries-Impakt Sittertobel (Waldkirch, Wittenbach, SG) | 177 | Bergsturzgebiet Goldau (Arth, SZ) | 259 | Lindmühle-Quellen (Birmenstorf, AG) |
| 13 | Tongruben Uf Saal (Laufen, BL) | 96 | Mineralienfundstelle Grube Lengenbach (Binn, VS) | 178 | Haglaren - Glaubenberg - Schlieren Flysch (LU, OW) | 260 | Giessbachfälle von Brienz (Brienz, BE) |
| 14 | Brislach-Allmet, Höhlen- und Karstgebiet (BL) | 97 | Austernriff Scherpfenrain (Häutlingen, BE) | 179 | Scheidnössli Kristallin/Sediment Kontakt (Erstfeld, UR) | 261 | Staubbachfall bei Lauterbrunnen (Lauterbrunnen, BE) |
| 15 | Gorges de la Sarine et affluents (FR) | 98 | Rissmoränen und Terrassenschotter von Möhlin (AG) | 180 | Taminaschlucht (Pfäfers, SG) | 262 | Trümmlerbachfall von Lauterbrunnen (Lauterbrunnen, BE) |
| 16 | Paysage fluvial de la Singine et carrière de Zollihus (BE, FR) | 99 | Tafeljura um Wittnau-Herznach (AG) | 181 | Rundhöckerlandschaft Melsner Hinterberg - Flumser Kleinberg (Flums, Mels, SG) | 263 | Balmquellen (Lenk, BE) |
| 17 | Valle glacio-karstique du Breccaschlund (Charmey, Jaun, FR) | 100 | Schwarzwaldkristallin und Schlossberg von Laufenburg (Laufenburg, AG) | 182 | Matterhorn (Zermatt, VS) | 264 | Mineralwasserquellen (GR) |
| 18 | Instabilités de terrain dans le vallon de Falli Hölli - Chleuwena (FR) | 101 | Wasserschloss: Zusammenfluss von Aare, Reuss und Limmat (AG) | 183 | Moraine latérale du glacier du Rhône à Monthey et Collombey-Muraz (VS) | 265 | Dinosaurier-Fähren am Pilz dal Diavel im Nationalpark (Zernez, GR) |
| 19 | Gletscherhöhlen (Maloja, GR) | 102 | Fuchstobelstein (Erratik) (Remetschwil, AG) | 184 | Glacier du Rhône (Obergoms, VS) | 266 | Manganerzlagereplätze Falotta und Parsettens (Tinizong, GR) |
| 20 | Morteratschgletscher (Pontresina, GR) | 103 | Lägern - Faltenjura und Steinbruch von Dielsdorf (AG, ZH) | 185 | Gole di Ponte Brolla (Tegna, Locarno, TI) | 267 | Parois rocheuses à tourrelles de Château Cugny (Goumois, JU) |
| 21 | Roseg- und Tschiervagletscher (Samedan, GR) | 104 | Molasse-Rundhöcker Schlossberg und Gofi bei Lenzburg (Lenzburg, AG) | 186 | Mineralizazioni dei porfidi quarziferi (Carona, TI) | 268 | Bassin glaciaire d'Ecole (VD) |
| 22 | Gletschervorfeld Palügletscher (Poschiavo, GR) | 105 | Pfluegstein (Erratik) von Erlebach (Herrliberg, ZH) | 187 | Kesch-Ducan-Gebiet mit fossilireicher Prosanto-Formation (GR) | 269 | Source thermale de Lavey-les-Bains (Lavey-Morcles, VD) |
| 23 | Val Bondasca (Bregaglia, GR) | 106 | Val di Campo (Poschiavo, GR) | 188 | Blockgletscher Val Sassa (Zernez, GR) | 270 | Sources thermales (Loèche-les-Bains, VS) |
| 24 | Macunseew (Lavin, GR) | 107 | Klus von Mümliswil (SO) | 189 | Canyon du Doubs (JU, NE) | 271 | Molasse Steinbruch Eckwil (Mägenwil, AG) |
| 25 | Glaziallandschaft Stazerwald (GR) | 108 | Luegobindenblock, Granit bei Habkern (Habkern, BE) | 190 | Thurdurchbruch bei Halden (TG) | 272 | Fleisches der Einsiedler Schuppenzone, Steinbach-Büelhöchi (Einsiedeln, SZ) |
| 26 | Viamala-Schlucht (GR) | 109 | Faltenjura Richtifluh - Gersteifluh (Waldenburg, BL) | 191 | Molasse Tongrube Altegg, Mettlen (Bussnang, Schönholzerswilen TG) | 273 | Windgap Heidenloch (AG, SO) |
| 27 | Typlokalität des Ruchberg-Sandstein (Maienfeld, GR) | 110 | Molasse-Tennikerflu (Tenniken, BL) | 192 | Molasse Im Gäh, Nussbaum (Hüttwilen, TG) | 274 | Glaziokomplex Schwantemau (Einsiedeln, SZ) |
| 28 | Zungenbeckenlandschaft Wauwilermoos-Hagimoos-Mauensee (LU) | 111 | Pillow-Lava bei Zermatt (Zermatt, VS) | 193 | Glimmersandgrube Helsighausen (Raperswilen, TG) | 275 | Glaziale Flusstraumverdrängung, Schindellegi Hütten (SZ, ZH) |
| 29 | Napfbergland Nagelfluh Schuttfläche (LU, BE) | 112 | Echinodermensteinbruch von Schinznach (AG) | 194 | Rheinlauf Wagenhausen - Rheinklingen mit Endmoränenlandschaft (Wagenhausen, Diessenhofen, TG) | 276 | Glaziokomplex Wilen Schwand bei Menzingen (Neuheim, Menzingen, ZG) |
| 30 | Boutonnierre anticlinale du Creux du Van et Gorges de l'Areuse (NE, VD) | 113 | Mont Terri Ueberschiebung, Oberkirch-Meltingen (SO) | 195 | Deckenschotter Grosswies, Salen-Reuternen (Homburg, TG) | 277 | Coupe stratigraphique quaternaire de la gravière de Bursins (Bursins, VD) |
| 31 | Mines d'asphalte (Val-de-Travers, NE) | 114 | Glaziallandschaft Steinhof bei Herzogenbuchsee (BE, SO) | 196 | Molasse Sandgrube Schlatt-Paradies (Schlatt, TG) | 278 | Colline rocheuse du Mormont, capture de la Venoge, carrières d'Eclépens-Criodet et des Buis (VD) |
| 32 | Melchsee-Frukt, Höhlen- und Karstsysteme (Kerns, Innertkirchen, OW, BE) | 115 | Gipsgrube Kienberg (Kienberg, SO) | 197 | Vorstoss-Schottern Ittingen (WARTH-Weiningen, TG) | 279 | Erosionslandschaft Seckbachobel mit Riesenkonglomerat (Schwende, AI) |
| 33 | Necker-Canyon zwischen Mogelsberg und Lütisburg (SG) | 116 | Liasistische Stromatolithe, Passwang (Mümliswil-Ramiswil, SO) | 198 | Molasse Goldachdurchbruch Martinstobel (SG) | 280 | Glaziallandschaft Aueli-Tosbach (Urnäsch, Hundwil, AR) |
| 34 | Gips Oberswies (Schleitheim, SH) | 117 | Klus Balsthal (Balsthal, Oensingen, SO) | 199 | Glaziokomplex Goldachgletscher Chastenloch (Trogen, AR) | 281 | Molassesack Rossmoos (Urnäsch, AR) |
| 35 | Bohnerzkluf Südanden (SH) | 118 | Nidlenloch, Weissenstein (Gänzbrunnen, Oberdorf, SO) | 200 | Molasse Schröteller (Thal, SG) | 282 | Glaziallandschaft Oberes Luterental (Nesslau-Krummenau, SG) |
| 36 | Randen-Biberthal-Verwerfung, Bibereggruppe (Thayngen, SH) | 119 | Sauropodenfährten (Oberdorf, Lommiswil, SO) | 201 | Lösstrassen- und Rundhöckerlandschaft (Wartau, Sevelen, SG) | 283 | Blocs erratiques des Pierres du Niton (Genève, GE) |
| 37 | Seebi Trias Steinbruch (Schleitheim, SH) | 120 | Typulokalität Solothurner-Schildkrötenkalke St.Niklaus bei Solothurn (Rüttenen, SO) | 202 | Eozäne Riftalkalke Guifer (Weesen, SG) | 284 | Kame Terrassen Camischolas (Disentis, Sedrun, GR) |
| 38 | Rheinfall (Neuhausen a. Rheinfall, SH), Laufen-Uhwiesen, ZH) | 121 | Weissenstein Antiklinale/Halbklus Balsthal Balmberg (Balm b. G., Günsberg, SO) | 203 | Saugetierlokalität Martinsbrünnetli (Rapperswil-Jona, SG) | 285 | Randunterschiebung Teufelsmauer (Urnäsch, Hundwil, AR) |
| 39 | Schmelzwasserrinne Bichelsee - Littenheid (TG) | 122 | Fossiles du Creux de l'Ours (Châtel-St-Denis, FR) | 204 | Glaziokomplex Müselbach (Kirchberg, SG) | 286 | Glacier et complexe morainique de Tsijon Nouve (Evolène, VS) |
| 40 | Seitenmoräne des Konstanzer-Stadiums des Rheingletschers (TG) | 123 | Séquences de marée du Bois du Devin (Marly-le-Petit, FR) | 205 | Drumlinlandschaft Wittenbach (Wittenbach, Berg, SG) | 287 | Mittelmoräne Chamhalden (Schwende, AI, Hundwil, AR) |
| 41 | Endmoränenlandschaft Aadorf - Aawangen (Aadorf, Matzingen, TG) | 124 | Molasse des Grottes de la Madeleine, Einsiedelei (Düdingen, FR) | 206 | Blattverschiebung Sax-Schwendibruch (Schwende, Rüte, AI) | 288 | Schichtrippenlandschaft Jona-Diemberg (Rapperswil-Jona, SG) |
| 42 | Endmoränenlandschaft Aadorf - Aawangen (Aadorf, Matzingen, TG) | 125 | Biwakgrotte (Kaiseraugst, AG) | 207 | Kartreppenlandschaft Murgsee-Rietlichopf (Quarten, SG) | 289 | Pierre Besse et Bloc Monstre (blocs erratiques) (Bex, VD) |
| 43 | Endmoränenlandschaft Nussbaumer- und Hüttwilerseen mit Laachersee-Bimstuff (TG, ZH) | 126 | Dürschenrennhöhle Alpstein (Schwende, AI) | 208 | Geologisches Fenster Vättis/Kreuzbachobel (Pfäfers, SG) | 290 | La Sagne de la Vracogne (haut-marais) (Ste-Croix, VD) |
| 44 | Felsenholz Deckenschotter (Sitterdorf, TG) | 127 | Beatenberg - Siebenhengste - Höhgant, Höhlen- und Karstsystem (BE) | 209 | Thur-Auen beim Zusammensfluss mit dem Rhein (ZH) | 291 | Bons du pied du Mont Tendre (sources boueuses) (VD) |
| 45 | Bischofszell Bentonite (Bischofszell, TG) | 128 | Eishöhle (Hasliberg, BE) | 210 | Entwässerungsrinne Dättnau-Pfungen und spätglazialer Wald Dättnau (Pfungen, Winterthur, ZH) | 292 | Décrochement de Vallorbe-Pontarlier (VD) |
| 46 | Molasse (OSM) Mammern (TG) | 129 | Silberloch (Röschenz, BL) | 211 | Moränen des Würm-Maximums des Reussgletschers bei Mellingen (AG) | 293 | Moränen des Würm-Maximums des Reussgletschers bei Mellingen (AG) |
| 47 | Rock glaciers dell'Alta Valle (Malvaglia, TI) | 130 | Muttseeöhöhl und Marmorhöhle (Glarus Süd, GL) | 212 | Molasse (OSM) und Quartär Küschnacher Tobel (Küschnacht, Zumikon, ZH) | 294 | Moränen des Stetten-I-und -II-Rückzugsstadiums des Reussgletschers bei Stetten (AG) |
| 48 | Gorges de Covatannaz (Ste-Croix, Vuiteboeuf, VD) | 131 | Höhlen- und Karstsystem der Sulzfluh (St. Antoniën, GR) | 213 | Kohlenbergwerk Käpfnach (Horgen, ZH) | 295 | Moränen des Bremgarten-Stadiums des Reussgletschers bei Bremgarten (AG) |
| 49 | Pyramides de gypse du Col de la Croix (Ollon, VD) | 132 | Grotte de Milandre (Boncourt, Basse-Allaine, JU) | 214 | Tüfels Chilen Quelltfuskaskaden (Zell, ZH) | 296 | Combes anticlines du Haut-Jura (Marchairuz) (Le Chenit, Arzier, VD) |
| 50 | Bloc erratique rhodanien de la Lécherette (Château d'Oex, VD) | 133 | Grotte de Récèle (Haute-Ajoie, JU) | 215 | Cirque glaciaire de Gruben (Saas-Balen, Saas-Grund, VS) | 297 | Traces de dinosaures de Courtedoux (Courtedoux, Haute-Ajoie, JU) |
| 51 | Glissement de la Frasse (Ormonts-dessous, Leyzin, VD) | 134 | Schattenfluh, Höhlen- und Karstsystem (Flühi, LU) | 216 | Payage périglaciale du Haut Vallon de Réchy - Pas de Lona (VS) | 298 | Carrière de Dorénaz (Dorénaz, VS) |
| 52 | Traces de dinosaures de la Golette et mine de Salanfe (Evionnaz, VS) | 135 | Grotte de la Cascade (Val-de-Travers, NE) | 217 | Blockgletscher Murtel-Corvatsch (Silvaplana, GR) | 299 | Fossillokalität Rickenbach Huppergrube (Rickenbach, SO) |
| 53 | Pyramides d'Euseigne (Hérémence, VS) | 136 | Emposieu et moulins souterrains du Col des Roches (Le Locle, NE) | 218 | Blockgletscher Val Muragl (Samedan, GR) | 300 | Schieferkohlenkomplex Greit (Menzingen, ZG) |
| 54 | Chaîne des Gastlosen (BE, FR, VD) | 137 | Glacière de Monlési (Val-de-Travers, NE) | 219 | Glacio-Karst de Tsanfeuron (Saviese, VS) | 301 | Carrière de marbre (Saillon, VS) |
| 55 | Moraines du stade Egesen du glacier de Tortin (Nendaz, VS) | 138 | Grotte du TM 800 (Fontainemelon, NE) | 220 | Liasgrube Unterer Hauenstein (Hauenstein-Ifenthal, SO) | 302 | Aaregranit in der Schöllen und gotthardmassivische Sedimente (Andermatt, UR) |
| 56 | Eboulement de Sierra (VS) | 139 | Bärenhöhle S4 am Schwalmis (Emmetten, NW) | 221 | Fossilfundstelle Tongrube Frick (Frick, AG) | 303 | Ultramafite von Chämleten (Hospental, UR) |
| 57 | Eboulement de Derborence (Conthey, VS) | 140 | Friedhöflerhöhle Bürgenstock (Ennetbürgen, NW) | 222 | Crétacé-Tertiäre de Roter Sattel (Jaun, FR) | 304 | Carrières sous-lacustres (Prény-Chambésy, GE) |
| 58 | Formes de raccordement postglaciaire de la cluse du Rhône (VS) | 141 | Domndmilchloch am Pilatus (Alpnach, OW) | 223 | Paléokarst de la carrière de la Petite Morée (Govelier, JU) | 305 | Querschnitt durch die Helvetische Hauptüberschiebung |
| 59 | Eboulement de Randa (Randa, VS) | 142 | Churfirschen - Ringquelle, Höhlen- und Karstsystem, Typulokalität Garschella (SG) | 224 | Gisement fossilifère de Riva-Monod (Rivaz, Puidoux, VD) | 306 | Sediment- und Torfkörper Moosalp-Mend Faulensee (Spiez, BE) |
| 60 | Molasse oligocène du Vallon de la Roulavaz (Dardagny, GE) | 143 | Höllöch - Windloch - Silberen - Bödmerten, Höhlen- und Karstsystem (Muotathal, SZ, Glarus, GL) | 225 | Carrière de St-Tiphon (Ollon, VD) | 307 | Falten und Schuppen Wildhäuser Schafberg (Wildhaus-Alt St. Johann, SG) |
| 61 | Molasse (OMM) Ränggloch (Kriens, LU) | 144 | Gütschtobel - Bawangli, Höhlen- und Karstsystem (Muotathal, SZ) | 226 | Salines de Bex (Bex, VD) | 308 | Glazialablagerung von Thalug (Kirchdorf, BE) |
| 62 | Molasse (OMM) (Luzen, LU) | 145 | Orbe souterraine (Grotte de Vallorbe und Grotte aux Fées) (Vallorbe, Le Lieu VD) | 227 | Thermalquellen (Baden, Ennetbaden, AG) | 309 | Molasse à charbon de la Paudèze (VD) |
| 63 | Windgäle, Maderneratal Antiklinale (Silenen, Unterschächen, UR) | 146 | Gouffres de Longirod et du Narcoleptique (VD) | 228 | Fossilkalität Landesplattenberg (Glarus Süd, GL) | 310 | Glarer Hauptüberschiebung/UNESCO-Welterbe Tektonikarena Sardona (GLSG, GR) |
| 64 | Dalle à empreintes de dinosaures d'Emrosson (Firnau, VS) | 147 | Grotte des Chamois (Varen, VS) | 229 | Récifs coralliens de St-Ursanne (Clos du Doubs, JU) | 311 | Marnière de Bois-Genou, gisements fossilifères sur la Mèbre et Flon Morand (Lausanne, VD) |
| 65 | Ajoulotte souterraine (Haute-Ajoie, JU) | 148 | Grotte de la Crête de Vaas (Sierra (Granges), VS) | 230 | Cluse de Goumois (Saignelégier, JU) | 312 | Soufrière de Sublin (Bex, VD) |
| 66 | Zona mineralogica del Pasco del Campolungo (Lavizzara, Prato Leventina, TI) | 149 | Réseau karstique du Grand Cor - Poteu (Fully, Saillon, VS) | 231 | Stollensystem Eisenerzbergwerk Gonzen (Sargans, SG) | 313 | Quartz dans le Flysch de la Tour de Duin (Bex, VD) |
| 67 | Sito mineralogico ad essonite (Claro, TI) | 150 | Jochloch (Höhle auf dem Jungfrauujoch) (Fieschertal, VS) | 232 | Flysch und Klippendecke, Mythen (Schwyz, SZ) | 314 | Nappe de Morcles (VD, VS) |
| 68 | Mineralizzazioni a distene e staurolite del Pizzo Forno (Chironico, TI) | 151 | Réseau des Pingouins und Lapi di Bou (lapiaz) (Saviese, VS) | 233 | Kristallhöhle Sandbalen (Göscheneralp, UR) | 315 | Couche à Cérites de Tête Ronde (Bex, VD) |
| 69 | Zona mineralogica del Gottero-Fibbia (Airolo, TI) | 152 | Lac souterrain (St-Léonard, VS) | 234 | Gorges de la Veveyse de Fégire (FR, VD) | 316 | Travertin-Terrassen Quellhorizont Embach/Freienstein (ZH) |
| 70 | Marmo di Castione (Arbedo-Castione, TI) | 153 | Molasse de Heitenried (FR) | 235 | Filons aurifères de Gondo (Gondo-Zwischbergen, VS) | 317 | Estavelle de l'Hongrin (Haut-Intyamon, FR) |
| 71 | Linea Insubrica sul Passo San Jorio (S. Antonio, TI) | 154 | Pillow-Lava auf der Alp Flix, Cuorts (Sur, GR) | 236 | Mine de plomb et de zinc de Goppenstein (Ferden, VS) | 318 | Fledermausloch (Welschenrohr, SO) |
| 72 | Fascia di Bündnerschiefer della Valle Bedretto-Nufenen (Bedretto, TI) | 155 | Alv-Brekhof Aufschluss am Pilz Alv (Pontresina, GR) | 237 | Grès vogesiens des Etangs de Bonfol (Bonfol, Vendlincourt, JU) | 319 | Hölggrote Baar (Bärenhöhle) und Kohlbodenquelle (Menzingen, ZG) |
| 73 | Fascia di Bündnerschiefer della Valle Bedretto-Nufenen (Bedretto, TI) | 156 | Ekiogit-Boudins der Alp de Trescolmen (Mesocco, GR) | 238 | Carrière d'ardoise (Leytron, VS) | 320 | Kristallhöhle Kobelwald (Oberriet, SG) |
| 74 | Palude della Bedrina (Dalpe, Prato (Leventina), TI) | 157 | Bergsturzlandschaft Icls Aults (Domat, Ems (GR)) | 239 | Carrière de granite de Miéville-Vernayaz (Vernayaz, VS) | 321 | Milchbachhöhle-Arboschacht (Grindelwald, BE) |
| 75 | Acqua del Pavone (Grotta di Val Fiorina) (Cevio, TI) | 158 | Landwasserschlucht (Davos, Filisur, GR) | 240 | Crétacé et Molasse de La Chaux-La Vracogne (Ste-Croix, VD) | 322 | Réseau des Morteys et Gouffre des Diablotins (FR, VD) |
| 76 | Paesaggio geomorfologico della Greina (Blenio, TI, Vrin, GR) | 159 | Bergsturzlandschaft Flims und Ruinaulta (GR) | 241 | Glacier du Gorner und Jardin glaciaire de Dossen (Zermatt, VS) | | |
| 77 | Paesaggio fluviale del fondovalle della Maggia (TI) | 160 | Tumalandshaft (Domat, Ems, GR) | 242 | Vallées glaciaires suspendues de la rampe sud du Lötschberg (VS) | | |
| 78 | Delta del fiume Maggia (Locarno, Ascona, TI) | 161 | Cluses del Pichoux et d'Undervelier et vallée sèche du Miéry (JU) | 243 | Quarzsandgrube Benken (Benken, Trüllikon, ZH) | | |
| 79 | Fuorisuolo di gas naturale fra i delta del Ticino e della Verzasca (Tenereo-Contra, Locarno, TI) | 162 | Cluses de la Birse (BE, JU) | 244 | Marne crétacée (Cressier, NE) | | |
| 80 | Peridotite dell'Alpe Arami (Gorduno, TI) | 163 | Colline rocheuse isolée du Mont Vully (Haut-Vully, Bas-Vully, FR) | 245 | Localité type du Valanginien (Valangin, NE) | | |
| 81 | Paesaggio dei Denti della Vecchia (TI) | 164 | Flusslandschaft der mittleren Reuss (AG, ZG, ZH) | 246 | Système karistique Bied-Ponts de Martel-Noirague (NE) | | |
| 82 | Carbonero di Manno (Manno, TI) | 165 | Molasse Albiskette, Reppischtal (ZH) | 247 | Sennwalder Bergsturz (Sennwald, SG) | | |
| 83 | Serie stratigrafica del Monte Caslano e copertura vegetale (Caslano, TI) | | | | | | |

Annexe 7

Membres du Groupe de travail pour les géotopes en Suisse

Etat: novembre 2012

| | | |
|-------------|--------------|--|
| Ayer | Jacques | Muséum d'histoire naturelle de Genève |
| Baillifard | François | Géologue, Commune de Bagnes |
| Balderer | Werner | Senior Hydrogeologist ETH Zurich |
| Buckingham | Thomas | UNESCO-Welterbe Tektonikarena Sardona |
| Buehl | Herbert | Schaffhausen |
| Burga | Conradin | Geographisches Institut, Universität Zürich |
| Burri | Andreas | Gletschergarten Luzern |
| Burri | Thomas | Naturhistorisches Museum Bern |
| Decrouez | Danielle | Directeur honoraire, Muséum d'histoire naturelle de Genève |
| Dezes | Pierre | Platform Geosciences, SCNAT |
| Felber | Markus | Consulenze geologiche e ambientali, Morbio Inferiore |
| Furrer | Heinz | Paläontologisches Institut und Museum, Universität Zürich |
| Häuselmann | Philipp | Institut Suisse de Spéléologie et de Karstologie (ISSKA) |
| Heinz | Roger | Amt für Umwelt und Energie, Kanton St. Gallen |
| Heitzmann | Peter | Geologe, Bern |
| Hipp | Raimund | Amt für Raumplanung, Kanton Thurgau |
| Hug | Wolfgang | Responsable Paléontologie A16, Canton du Jura |
| Imper | David | Impergeologie AG, Heiligkreuz |
| Imper | Ladina | Impergeologie AG, Heiligkreuz |
| Jeannin | Pierre-Yves | Institut Suisse de Spéléologie et de Karstologie (ISSKA) |
| Jordan | Peter | Böhringer AG, Oberwil |
| Keller | Oskar | St.Gallische Naturwissenschaftliche Gesellschaft |
| Labhart | Toni | Honorarprofessor für Geologie, Universität Bern |
| Meyer | Christian A. | Naturhistorisches Museum Basel |
| Oppizzi | Paolo | Parco delle Gole della Breggia |
| Reynard | Emmanuel | Institut de géographie et durabilité, Université de Lausanne |
| Ricklin | Kathy | Nationalrätin, Zurich |
| Schluechter | Christian | Institut für Geologie, Universität Bern |
| Schneider | Hans F. | Pro Natura Graubünden |
| Senn | Maria | Bundesamt für Umwelt |
| Stuerm | Bruno | Raumplaner, Goldach |
| Weidmann | Markus | Büro für erdwissenschaftliche Öffentlichkeitsarbeit, Chur |
| Wildberger | Andres | Geotechnisches Büro Dr. von Moos AG, Zurich |